

بِسْمِ اللَّهِ الرَّحْمَنِ الرَّحِيمِ

موضوع پروژه: کنترل سیستم آونگ وارونه یک درجه آزادی برای حالت بدون اصطکاک با استفاده از PID و اتصال نرم افزار آدامز به سیمولینک متلب

درس مربوطه: کنترل اتوماتیک

استاد راهنما: دکتر ساویز

گردآورنده:

یاسین ریاضی

دانشگاه شهید مدنی آذربایجان

نیمسال اول ۹۹

فهرست

پارامترها	۴
مقدمه	۵
۱ مدل سازی سیستم پاندول معکوس	۷
۱.۱ معادلات حرکت	۸
۱.۱.۱ اشتاب نقطه Q نسبت به نقطه P	۸
۱.۱.۲ اشتاب مطلق نقطه Q	۱۰
۱.۱.۳ نیروی اینرسی روی نقطه Q	۱۰
۱.۱.۴ نیروهای وارد بر گاری	۱۰
۱.۱.۵ نیروهای چرخشی بر روی آونگ	۱۱
۱.۱.۶ ترکیب معادلات نیروی افقی و چرخشی	۱۲
۱.۱.۷ جمع بندی	۱۴
۲.۱ محاسبه تابع تبدیل	۱۶
۳.۱ کدهای متلب	۱۸
۲ تحلیل نتایج	۱۹
۲.۱ تابع تبدیل	۱۹
۲.۲ محل صفر و قطب ها	۱۹
۲.۳ پاسخ به ورودی ضربه	۲۰
۲.۴ پاسخ به ورودی پله	۲۰
۲.۵ مکان هندسی ریشه ها	۲۱
۲.۶ نمودار بوده	۲۱
۲.۷ نمودار نایکویست	۲۲
۳ مدل سازی در سیمولینک	۲۳
۴ مدل سازی در آدامز	۲۷
۵ کنترل PID	۴۶
۶ پیوست	۴۸
۶.۱ بسط بخش ۲.۱ برای چند پاندول	۴۸
۶.۲ مدل سازی پاندول معکوس به روش لاگرانژ و استخراج معادله حالت	۵۱

پارامترها

M	جرم اربه
m	جرم پاندول
b	اصطكاك اربه
l	فاصله مركز جرم پاندول
I	گشتاور ماند پاندول
F	نيروي اعمالی به اربه
x	موقعیت اربه
θ	زاویه پاندول نسبت به قائم

مقدمه

حفظ تعادل یک پاندول معکوس سوار بر روی یک ارابه متحرک که در یک راستا به طور افقی حرکت می‌کند، یک مسئله کلاسیک در سیستم‌های کنترل است. در این پروژه روش‌های مختلفی جهت بازگرداندن پاندول معکوس از حالت نامتعادل به حالت تعادل و حفظ این حالت ارائه می‌شود.

پاندول معکوس یک مسئله استاندارد در سیستم‌های کنترلی بوده و همچنین برای نمایش اصول کنترل خطی، مانند پایدار کردن سیستم‌های ناپایدار مفید می‌باشد. از آنجایی که این سیستم به طور ذاتی غیر خطی است برای نمایش ایده‌هایی در سیستم‌های کنترلی غیر خطی نیز مفید می‌باشد.

در این سیستم یک پاندول معکوس به یک ارابه متصل شده که توسط یک موتور در راستای محور افقی حرکت می‌کند. ما می‌توانیم از طریق موتور سرعت و موقعیت معینی را به ارابه بدهیم و مسیر ریلی، ارابه را به حرکت در یک راستا محدود می‌کند. سنسورهایی جهت اندازه‌گیری زاویه انحراف پاندول و سرعت و موقعیت ارابه در سیستم قرار داده شده اند و اندازه گیری‌های لازم و همچنین سیگنال‌های کنترلی موتور توسط یک برد کنترلی، که در واقع رابط بین کامپیوتر و این سیستم است، انجام شده، همچنین فرمان‌های لازم جهت کنترل و نتایج بدست آمده توسط نرم افزار متلب تحلیل و اجرا می‌شوند.

این سیستم در واقع یک سیستم یک ورودی- دو خروجی می‌باشد چرا که ما باید بتوانیم تنها با یک سیگنال کنترلی که به موتور می‌دهیم، به طور همزمان موقعیت ارابه و زاویه پاندول را تحت کنترل داشته باشیم.

سیستم پاندول معکوس دو نقطه تعادل ذاتی دارد که یکی پایدار و دیگری ناپایدار است. نقطه تعادل پایدار جایی است که پاندول رو به پایین قرار گرفته که بدون نیاز به هیچ کنترل کننده‌ای سیستم به طور طبیعی رو به این حالت می‌رود. نقطه تعادل ناپایدار مربوط به وضعیتی می‌شود که پاندول دقیقاً رو به بالا قرار گرفته و در نتیجه نیاز به یک کنترل گر برای حفظ تعادل دارد. هدف اصلی در مسئله پاندول معکوس حفظ تعادل در نقطه ناپایدار است و هدف کنترلی این پروژه این است که وضعیت پاندول را از یک حالت نامتعادل به نقطه تعادل برساند و این وضعیت را حفظ کند.

در ابتدای کار و قبل از اینکه سیستم پاندول معکوس راه اندازی شود، با استفاده از معادلات مکانیکی سیستم و نرم افزار متلب شبیه سازی‌هایی از سیستم انجام داده تا شمای کلی آنچه در پیش رو داریم برایمان آشکار شود.

از این شبیه‌سازی ما میتوانیم پاسخ ذاتی سیستم را مشاهده کرده و با شبیه‌سازی یک کنترل گر و تغییر ضرایب آن نتایج دلخواهی بدست آوریم و چگونگی تغییر رفتار سیستم با تغییر دادن پارامترهایی از آن، از جمله جرم و طول پاندول و ... و تغییر ضرایب کنترل کننده، را پیش بینی کرده و در عمل سریع‌تر به نتایج دلخواه برسیم.

در این بخش ابتدا با استفاده از قوانین مکانیکی تابع تبدیلی برای سیستم بدست آورده و سیستم را با استفاده از آن مدل می‌کنیم. سپس کنترل کننده‌های مختلفی را به آن اعمال کرده و نتایج را شبیه‌سازی می‌کنیم.

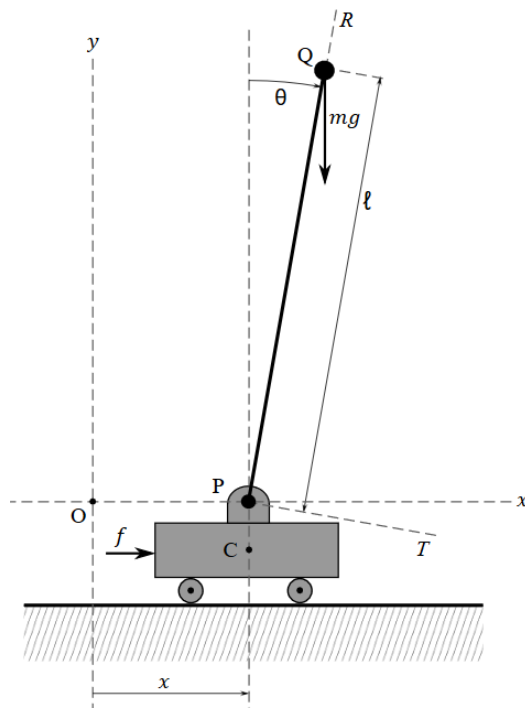
ابتدا از کنترل کننده PID جهت حفظ تعادل استفاده شده است که با استفاده از آن توانستیم هر دو خروجی سیستم یعنی زاویه و موقعیت پاندول را انحراف های زاویه ای کم کنترل کنیم.

۱ مدل سازی سیستم پاندول معکوس

سیستم پاندول معکوس تعریف شده در اینجا، در شکل ۱ نمایش داده شده است؛ که از یک ارابه، یک پاندول، و یک مسیر ریلی جهت محدود کردن حرکت ارابه به یک راستا و همچنین تعیین موقعیت آن، تشکیل شده است. پاندول از یک انتها به مرکز سطح فوقانی ارابه متصل شده و از انتهای دیگر آزاد می باشد، در نتیجه می تواند به طور آزادانه در صفحه ای شامل مسیر ریلی حرکت کند. ارابه، با توجه به اینکه محدود به حرکت بر روی مسیر ریلی است، توسط یک موتور حرکت می کند در حالی که موقعیت ارابه از وسط مسیر، و زاویه انحراف پاندول از نقطه تعادل، توسط سنسورهایی اندازه گیری می شوند. در به دست آوردن معادلات سیستم و همچنین شبیه سازی، از اثر اصطکاک جهت ساده تر شدن معادلات صرف نظر شده ولی در عمل این اثر در نظر گرفته شده است.

این مدل به عنوان نمایانگر یک سیستم ناپایدار در نظر گرفته می شود زیرا برای متعادل نگه داشتن آونگ به یک نیروی کنترل خارجی نیاز است. در مقابل آونگ آویزان رو به پایین که در آن نیروی جاذبه به تنهایی منجر به نوسان پایدار در مورد عمودی رو به پایین می شود.

ما یک آونگ ایده آل فرض خواهیم کرد، که در آن تمام جرم آونگ در یک نقطه Q در انتهای یک میله سفت و سخت بدون جرم قرار دارد.



شکل ۱-۱: نمودار جسم آزاد پاندول معکوس

سیستم پاندول معکوس زیر را در نظر گرفته که با استفاده از یک نیروی ضربه‌ای F تحریک می‌شود. معادلات دینامیکی آن را بدست آورده و حول نقطه تعادل خطی می‌کنیم. (فرض بر اینست که پاندول فقط در حدود چند درجه از نقطه تعادل منحرف می‌شود).

۱/۱ معادلات حرکت

۱/۱/۱ شتاب نقطه Q نسبت به نقطه P

موقعیت Q نسبت به P در قاب مختصات XY و برای یک زاویه آونگ معین θ ، از رابطه زیر بدست می‌آید:

$$x_{q|p} = l \sin \theta \quad (۱)$$

$$y_{q|p} = l \cos \theta \quad (۲)$$

با مشتق گرفتن از (۱) و (۲) با توجه به زمان، سرعت Q را نسبت به P، برای یک زاویه آونگ معین می‌دهد θ و سرعت زاویه ای $\dot{\theta}$ سرعت

سرعت محور X

$$\frac{d(x_{q|p})}{dt} = \frac{d(l \sin \theta)}{dt} \xrightarrow{\text{Chain rule}} \frac{d(l \sin \theta)}{d\theta} \cdot \frac{d\theta}{dt} \xrightarrow{\text{Newton's notation}}$$

$$\dot{x}_{q|p} = l(\cos \theta)(\dot{\theta})$$

$$\dot{x}_{q|p} = l\dot{\theta} \cos \theta \quad (۳)$$

سرعت محور Y

$$\frac{d(y_{q|p})}{dt} = \frac{d(l \cos \theta)}{dt} \xrightarrow{\text{Chain rule}} \frac{d(l \cos \theta)}{d\theta} \cdot \frac{d\theta}{dt} \xrightarrow{\text{Newton's notation}}$$

$$\dot{y}_{q|p} = l(-\sin \theta)(\dot{\theta})$$

$$\dot{y}_{q|p} = -l\dot{\theta} \sin \theta \quad (۴)$$

شتاب محور X

$$\begin{aligned}\frac{d(\dot{x}_{q|p})}{dt} &= \frac{d^{\vee}(x_{q|p})}{dt^{\vee}} = \frac{d(l\dot{\theta} \cos \theta)}{dt} = l \left[\frac{d(\dot{\theta} \cos \theta)}{dt} \right] \xrightarrow{\text{Product rule}} \\ l \left[\frac{d\dot{\theta}}{dt} \cos \theta + \dot{\theta} \frac{d(\cos \theta)}{dt} \right] &\xrightarrow{\text{Chain rule}} l \left[\frac{d\dot{\theta}}{dt} \cos \theta + \dot{\theta} \frac{d(\cos \theta)}{d\theta} \cdot \frac{d\theta}{dt} \right] \\ \ddot{x}_{q|p} &= l[\ddot{\theta} \cos \theta - \dot{\theta}^{\vee} \sin \theta] \quad (5)\end{aligned}$$

شتاب محور Y

$$\begin{aligned}\frac{d(\dot{y}_{q|p})}{dt} &= \frac{d^{\vee}(y_{q|p})}{dt^{\vee}} = \frac{d(-l\dot{\theta} \sin \theta)}{dt} = -l \left[\frac{d(\dot{\theta} \sin \theta)}{dt} \right] \xrightarrow{\text{Product rule}} \\ -l \left[\frac{d\dot{\theta}}{dt} \sin \theta + \dot{\theta} \frac{d(\sin \theta)}{dt} \right] &\xrightarrow{\text{Chain rule}} -l \left[\frac{d\dot{\theta}}{dt} \sin \theta + \dot{\theta} \frac{d(\sin \theta)}{d\theta} \cdot \frac{d\theta}{dt} \right] \\ \ddot{y}_{q|p} &= -l[\ddot{\theta} \sin \theta + \dot{\theta}^{\vee} \cos \theta] \quad (6)\end{aligned}$$

معادلات فوق حرکت XY نقطه Q را توصیف می کنند ، با توجه به حرکتی که در سیستم مختصات قطبی از نظر زاویه و فاصله از نقطه محوری بیان شده است. این معادلات در مورد نیروهایی که بر روی سیستم ، عامل حرکت هستند چیزی نمی گویند.

معادلات (5) و (6) نشان می دهد که دو اثر متمایز وجود دارد که به شتاب Q نسبت به P کمک می کند ، به عنوان دو اصطلاح جداگانه در هر معادله ظاهر می شود. یک اصطلاح وابسته به سرعت چرخشی ($\dot{\theta}$) و یک اصطلاح وابسته به شتاب چرخشی است ($\ddot{\theta}$)

اصطلاحات وابسته به سرعت شتاب گریز از مرکز را که روی Q کار می کند ، Q را بطور مداوم مستقیماً به سمت مرکز چرخش (نقطه P) می کشانند و بنابراین حرکت دایره ای را حفظ می کنند ، توصیف می کنند. با اشاره به اینکه نیروی گریز از مرکز F_c برای یک توده m در شعاع مشخص r و سرعت زاویه ای ω از رابطه زیر بدست می آید:

$$F_c = mr\omega^{\vee}$$

۱/۱/۲ شتاب مطلق نقطه Q

شتاب مطلق محور X

$$\ddot{x}_q = \ddot{x}_{q|p} + \ddot{x}$$

$$\ddot{x}_q = l(\ddot{\theta} \cos \theta - \dot{\theta}^2 \sin \theta) + \ddot{x} \quad (۷)$$

شتاب مطلق محور Y

$$\ddot{y}_q = \ddot{y}_{q|p}$$

$$\ddot{y}_q = -l(\ddot{\theta} \sin \theta + \dot{\theta}^2 \cos \theta) \quad (۸)$$

۱/۱/۳ نیروی اینرسی روی نقطه Q

نیروی اینرسی (محور X)

$$(F_q^i)_x = -m\ddot{x}_q$$

$$(F_q^i)_x = -m[l\ddot{\theta} \cos \theta - l\dot{\theta}^2 \sin \theta + \ddot{x}] \quad (۹)$$

نیروی اینرسی (محور Y)

$$(F_q^i)_y = -m\ddot{y}_q$$

$$(F_q^i)_y = ml[\ddot{\theta} \sin \theta + \dot{\theta}^2 \cos \theta] \quad (۱۰)$$

۱/۱/۴ نیروهای وارد بر گاری

$$f - m_c \ddot{x} + (F_q^i)_x = 0 \xrightarrow{yields}$$

$$f - m_c \ddot{x} - m[l\ddot{\theta} \cos \theta - l\dot{\theta}^2 \sin \theta + \ddot{x}] = 0$$

$$m_c \ddot{x} + m[l\ddot{\theta} \cos \theta - l\dot{\theta}^2 \sin \theta + \ddot{x}] = f \quad (۱۱)$$

۱/۱/۵ نیروهای چرخشی بر روی آونگ

اکنون توجه خود را به نیروهای چرخشی وارد بر آونگ معطوف می کنیم. از نیروی چرخشی به عنوان ممتموم نیرو یا گشتاور یاد می شود. سه نیرو وجود دارد که منجر به تأثیر گشتاور بر روی آونگ می شود، این ها عبارتند از:

۱. جاذبه که بر روی جرم نقطه ای آونگ در Q تأثیر می گذارد
۲. نیروی اینرسی حاصل از مقاومت اینرسی جرم نقطه ای آونگ در Q ، یعنی هنگامی که چرخ دستی به سمت چپ یا راست در زیر آونگ حرکت می کند.
۳. یک نیروی اینرسی چرخشی معروف به لحظه اینرسی. سه گشتاور حاصل باید طبق اصل دالامبر در تعادل باشد، و یک معادله حرکت اضافی برای مدل گاری و پاندول ارائه می دهد.

$$\begin{aligned}
 M_q &= [\mathbf{l}_R(l) \times \mathbf{F}_q^i]_z \quad (13) \\
 &= [(l \sin \theta)(ml[\ddot{\theta} \sin \theta + \dot{\theta}^2 \cos \theta]) - (l \cos \theta)(-m[l\ddot{\theta} \cos \theta - l\dot{\theta}^2 \sin \theta + \ddot{x}])] \\
 &= ml[(\sin \theta)(l[\ddot{\theta} \sin \theta + \dot{\theta}^2 \cos \theta]) + (\cos \theta)(l\ddot{\theta} \cos \theta - l\dot{\theta}^2 \sin \theta + \ddot{x})] \\
 &= ml[l\ddot{\theta} \sin^2 \theta + l\dot{\theta}^2 \sin \theta \cos \theta + l\ddot{\theta} \cos^2 \theta - l\dot{\theta}^2 \sin \theta \cos \theta + \ddot{x} \cos \theta] \\
 &= ml[l\ddot{\theta}(\sin^2 \theta + \cos^2 \theta) + \ddot{x} \cos \theta] \\
 M_q &= ml(l\ddot{\theta} + \ddot{x} \cos \theta) \quad (14)
 \end{aligned}$$

گشتاور حاصل از کشش رو به پایین گرانش بر جرم آونگ در Q بدست می آید:

$$M_g = -mgl \sin \theta \quad (15)$$

با توجه به اینکه گشتاور حاصل از جاذبه صفر است هنگامی که آونگ به طور کامل عمودی است، و هنگامی که آونگ در $90^\circ +$ باشد منفی است. به عبارت دیگر، آونگ را با یک گشتاور منفی و در نتیجه در جهت عقربه‌های ساعت تسریع می کند.

$$M_i = J\ddot{\theta} \quad (16)$$

با توجه به اینکه علامت M_i مثبت برای $\ddot{\theta}$ مثبت است، نشان دهنده یک گشتاور مثبت و در خلاف جهت عقربه‌های ساعت است که آونگ در جهت عقربه‌های ساعت حرکت می کند.

در مجموع سه گشتاور و برابر بودن برابر صفر به عنوان اصل دالامبر، می‌دهد.

$$M_q + M_g + M_i = 0 \quad (17)$$

$$ml(l\ddot{\theta} + \ddot{x}\cos\theta) - mgl \sin\theta + J\ddot{\theta} = 0 \quad (18)$$

۱/۱/۶ ترکیب معادلات نیروی افقی و چرخشی

معادله (۱۲) نیروهای افقی را که در تعادل بر روی گاری وارد می‌شوند، توصیف می‌کند و معادله (۱۸) گشتاورهای (نیروهای چرخشی) را که در تعادل بر قطب وارد می‌شوند، توصیف می‌کند. این دو معادله را می‌توان با هم ترکیب و مجدداً مرتب کرد تا به مجموعه کاملی از معادلات مدل پاندول گاری برسیم.

$$m_c\ddot{x} + m[l\ddot{\theta} \cos\theta - l\dot{\theta}^2 \sin\theta + \ddot{x}] = f$$

$$m_c\ddot{x} + ml\ddot{\theta} \cos\theta - ml\dot{\theta}^2 \sin\theta + m\ddot{x} = f$$

$$m_c\ddot{x} + m\ddot{x} = f - ml\ddot{\theta} \cos\theta + ml\dot{\theta}^2 \sin\theta \xrightarrow{\text{yields}} (m_c + m)\ddot{x} = m_c\ddot{x} + m\ddot{x}$$

$$\ddot{x} = \frac{f - ml\ddot{\theta} \cos\theta + ml\dot{\theta}^2 \sin\theta}{m_c + m} \quad (19)$$

بازنویسی معادله (۱۸) برای به دست آوردن \ddot{x}

$$ml(l\ddot{\theta} + \ddot{x}\cos\theta) - mgl \sin\theta + J\ddot{\theta} = 0$$

$$ml^2\ddot{\theta} + ml\ddot{x} \cos\theta - mgl \sin\theta + J\ddot{\theta} = 0$$

$$ml\ddot{x} \cos\theta = mgl \sin\theta - ml^2\ddot{\theta} - J\ddot{\theta}$$

$$\ddot{x} = \frac{mgl \sin\theta - (ml^2 + J)\ddot{\theta}}{ml \cos\theta} \quad (20)$$

بازنویسی سمت راست معادله های (۱۹) و (۲۰) برای به دست آوردن $\ddot{\theta}$

$$\frac{f - ml\ddot{\theta} \cos\theta + ml\dot{\theta}^2 \sin\theta}{m_c + m}$$

$$= \frac{mgl \sin \theta - (ml^{\dot{\theta}} + J)\ddot{\theta}}{ml \cos \theta}$$

$$M = m_c + m$$

$$\begin{aligned} &= (ml \cos \theta)(f + ml\dot{\theta} \sin \theta) - (ml \cos \theta)^{\dot{\theta}} \ddot{\theta} = Mmgl \sin \theta - M(ml^{\dot{\theta}} + J)\ddot{\theta} \\ &= M(ml^{\dot{\theta}} + J)\ddot{\theta} - (ml \cos \theta)^{\dot{\theta}} \ddot{\theta} = Mmgl \sin \theta - (ml \cos \theta)(f + ml\dot{\theta} \sin \theta) \\ &= [M(ml^{\dot{\theta}} + J) - (ml \cos \theta)^{\dot{\theta}}]\ddot{\theta} = M(ml^{\dot{\theta}} + J)\ddot{\theta} - (ml \cos \theta)^{\dot{\theta}} \ddot{\theta} \end{aligned}$$

$$\ddot{\theta} = \frac{Mmgl \sin \theta - (ml \cos \theta)(f + ml\dot{\theta} \sin \theta)}{M(ml^{\dot{\theta}} + J) - (ml \cos \theta)^{\dot{\theta}}} \quad (۲۱)$$

با توجه به معادله (۲۱) می توان شتاب زاویه‌ای پاندول را محاسبه کرد سپس به سراغ معادله های (۱۹) یا (۲۰) رفت و شتاب گاری را محاسبه نمود .

معادلات فوق کفایت می کنند اما می توان با بازنویسی معادلات (۱۲) و (۱۸) ابتدا شتاب گاری را محاسبه نمود و سپس شتاب زاویه‌ای را پیدا کرد .

با بازنویسی معادله (۱۲) برای پیدا کردن شتاب زاویه‌ای

$$\begin{aligned} m_c \ddot{x} + m[l\ddot{\theta} \cos \theta - l\dot{\theta}^2 \sin \theta + \ddot{x}] &= f \\ m_c \ddot{x} + ml\ddot{\theta} \cos \theta - ml\dot{\theta}^2 \sin \theta + m\ddot{x} &= f \\ ml\ddot{\theta} \cos \theta &= f + ml\dot{\theta}^2 \sin \theta - m\ddot{x} - m_c \ddot{x} \\ \ddot{\theta} &= \frac{f + ml\dot{\theta}^2 \sin \theta - m\ddot{x} - m_c \ddot{x}}{ml \cos \theta} \\ \ddot{\theta} &= \frac{f + ml\dot{\theta}^2 \sin \theta - M\ddot{x}}{ml \cos \theta} \quad (۲۲) \end{aligned}$$

با بازنویسی معادله (۱۸) برای پیدا کردن شتاب زاویه‌ای

$$\begin{aligned} ml(l\ddot{\theta} + \ddot{x} \cos \theta) - mgl \sin \theta + J\ddot{\theta} &= 0 \\ ml^2 \ddot{\theta} + ml\ddot{x} \cos \theta - mgl \sin \theta + J\ddot{\theta} &= 0 \end{aligned}$$

$$ml^{\vee} \ddot{\theta} + J \ddot{\theta} = mgl \sin \theta - ml \ddot{x} \cos \theta$$

$$(ml^{\vee} + J) \ddot{\theta} = ml^{\vee} \ddot{\theta} + J \ddot{\theta}$$

$$\ddot{\theta} = \frac{ml(g \sin \theta - \ddot{x} \cos \theta)}{ml^{\vee} + J} \quad (۲۳)$$

با برابر قرار دادن معادلات (۲۲) و (۲۳) فاکتور گیری برای شتاب

$$\frac{f + ml \dot{\theta}^{\vee} \sin \theta - M \ddot{x}}{ml \cos \theta} = \frac{ml(g \sin \theta - \ddot{x} \cos \theta)}{ml^{\vee} + J}$$

$$(ml^{\vee} + J)(f + ml \dot{\theta}^{\vee} \sin \theta - M \ddot{x}) = (ml \cos \theta)(mgl \sin \theta - ml \ddot{x} \cos \theta)$$

$$(ml^{\vee} + J)(f + ml \dot{\theta}^{\vee} \sin \theta) - (ml^{\vee} + J)M \ddot{x}$$

$$= (ml)^{\vee} g \sin \theta \cos \theta - (ml \cos \theta)^{\vee} \ddot{x}$$

$$(ml \cos \theta)^{\vee} \ddot{x} - (ml^{\vee} + J)M \ddot{x}$$

$$= (ml)^{\vee} g \sin \theta \cos \theta - (ml^{\vee} + J)(f + ml \dot{\theta}^{\vee} \sin \theta)$$

$$[(ml \cos \theta)^{\vee} - (ml^{\vee} + J)M] \ddot{x} =$$

$$\ddot{x} = \frac{(ml)^{\vee} g \sin \theta \cos \theta - (ml^{\vee} + J)(f + ml \dot{\theta}^{\vee} \sin \theta)}{(ml \cos \theta)^{\vee} - (ml^{\vee} + J)M} \quad (۲۴)$$

۱/۱/۷ جمع بندی

با در نظر گرفتن $J = ml^{\vee}$ و انتقال آن به مفضل P مقدار J به صورت $J = \frac{ml^{\vee}}{۳}$ محاسبه می شود. اما ابتدا مقدار ممان اینرسی را

$$J = kml^{\vee} \quad (۲۵)$$

در نظر می گیریم. که ضریب k مقداری ثابت است که بعدا جایگذاری می شود.

با جایگذاری معادله (۲۵) در (۲۱)، (۲۳)، (۲۴) و (۱۹) معادلات به شکل های زیر در خواهند آمد.

$$\ddot{x} = \frac{f - ml\ddot{\theta} \cos \theta + ml\dot{\theta}^2 \sin \theta}{m_c + m} \quad (۱۹)$$

(۲۵) در (۲۱)

$$\ddot{\theta} = \frac{Mg \sin \theta - \cos \theta (f + ml\dot{\theta}^2 \sin \theta)}{(\lambda + k)Ml - ml \cos^2 \theta} \quad (۲۶)$$

(۲۵) در (۲۳)

$$\ddot{\theta} = \frac{g \sin \theta - \ddot{x} \cos \theta}{(\lambda + k)l} \quad (۲۷)$$

(۲۵) در (۲۴)

$$\ddot{x} = \frac{mg \sin \theta \cos \theta - (\lambda + k)(f + ml\dot{\theta}^2 \sin \theta)}{m \cos^2 \theta - (\lambda + k)M} \quad (۲۸)$$

۱. با استفاده از معادله ی (۲۶) میتوان شتاب زاویه‌ای را محاسبه نمود و سپس با جایگذاری آن در معادله

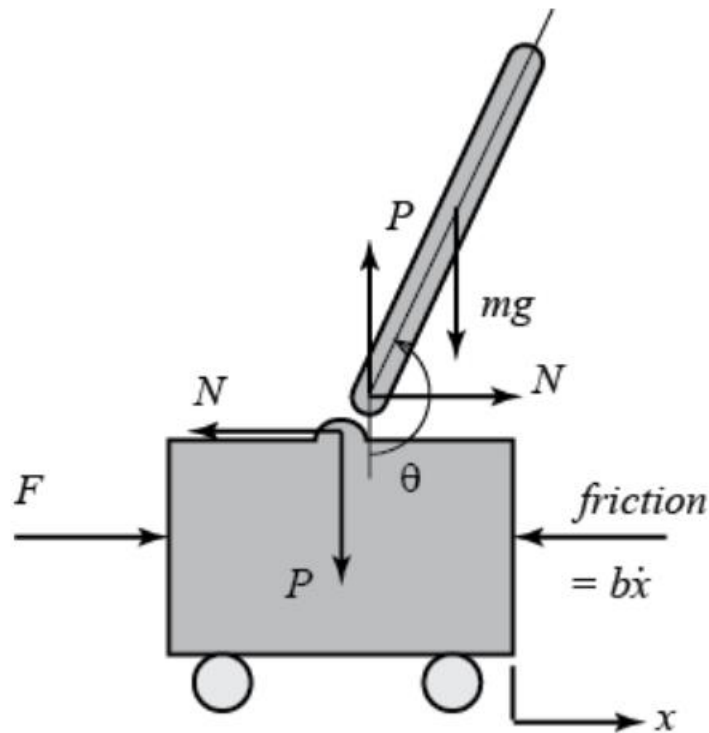
ی (۱۹) شتاب گاری محاسبه می شود .

۲. با استفاده از معادله ی (۲۸) میتوان شتاب گاری را محاسبه نمود و سپس با جایگذاری آن در معادله ی

(۲۷) شتاب زاویه‌ای محاسبه می شود .

۳. معادلات (۲۶) و (۲۸) مستقیماً شتاب های زاویه ای و گاری را محاسبه می کنند.

در این قسمت معادلات برای حالت با اصطکاک محاسبه می‌شوند.



شکل ۱-۲

برای به دست آوردن تابع تبدیل ابتدا می‌بایست معادلات را خطی سازی کنیم .

$$\begin{cases} (I + ml^2)\ddot{\theta} - mgl\theta = ml\ddot{x} \\ (M + m)\ddot{x} + b\dot{x} - ml\ddot{\theta} = u \end{cases} \xrightarrow{\text{Laplace}}$$

$$\begin{cases} (I + ml^2)\Theta(s)s^2 - mgl\Theta(s) = mlX(x)s^2 \\ (M + m)X(x)s^2 + bX(x)s - ml\Theta(s)s^2 = U(s) \end{cases}$$

$U(s)$ به عنوان ورودی تابع تبدیل در نظر گرفته شده است و باید $X(s)$ حذف شود .

$$X(s) = \left[\frac{I + ml^2}{ml} - \frac{g}{s^2} \right] \Theta(s)$$

با جایگذاری معادله بالا در دومین معادله نتیجه زیر حاصل می‌شود .

$$(M + m) \left[\frac{I + ml^2}{ml} - \frac{g}{s^2} \right] \Theta(s) s^2 + b \left[\frac{I + ml^2}{ml} - \frac{g}{s^2} \right] \Theta(s) s - ml \Theta(s) s^2 = U(s)$$

و با بازاری

$$\frac{\Theta(s)}{U(s)} = \frac{\frac{ml}{q} s}{s^2 + \frac{b(I+ml^2)}{q} s - \frac{(M+m)mgl}{q} s - \frac{bmgl}{q}} \left[\frac{rad}{N} \right]$$

$$q = [(M + m)(I + ml^2) - (ml)^2]$$

و در نهایت توابع تبدیل

$$\frac{X(s)}{U(s)} = \frac{\frac{(I+ml^2)s^2 - gml}{q}}{s^2 + \frac{b(I+ml^2)}{q} s - \frac{(M+m)mgl}{q} s - \frac{bmgl}{q} s} \left[\frac{m}{N} \right]$$

```

M = ۰.۵;
m = ۰.۵;
b = ۰;
I = ۰.۰۰۶;
g = -۹.۸۰۶۶۵;
l = ۰.۳;
q = (M+m)*(I+m*l^۲)-(m*l)^۲;
s = tf('s');

P_pend = (((I+m*l^۲)/q)*s^۲ - (m*g*l/q))/(s^۴ + (b*(I + m*l^۲))*s^۳/q - ((M + m)*m*g*l)*s^۲/q - b*m*g*l*s/q);

P_cart = (m*l*s/q)/(s^۳ + (b*(I + m*l^۲))*s^۲/q - ((M + m)*m*g*l)*s/q - b*m*g*l/q);

sys_tf = [P_pend ; P_cart];

inputs = {'u'};
outputs = {'x'; 'phi'};

set(sys_tf,'InputName',inputs)
set(sys_tf,'OutputName',outputs)

sys_tf

```

۲ تحلیل نتایج

```
M = ۰.۵;
m = ۰.۵;
b = ۰;
I = ۰.۰۰۶;
g = -۹.۸۰۶۶۵;
l = ۰.۶;
q = (M+m)*(I+m*l^۲)-(m*l)^۲;
s = tf('s');
P_pend = (m*l*s/q)/(s^۳ + (b*(l + m*l^۲))*s^۲/q - ((M + m)*m*g*l)*s/q - b*m*g*l/q)
```

۲,۱ تابع تبدیل

$$P_{pend} = \frac{۰.۰۰۴۲۷۵}{۰.۰۰۰۸۱۲۲ s^۲ + ۰.۰۴۱۹۲}$$

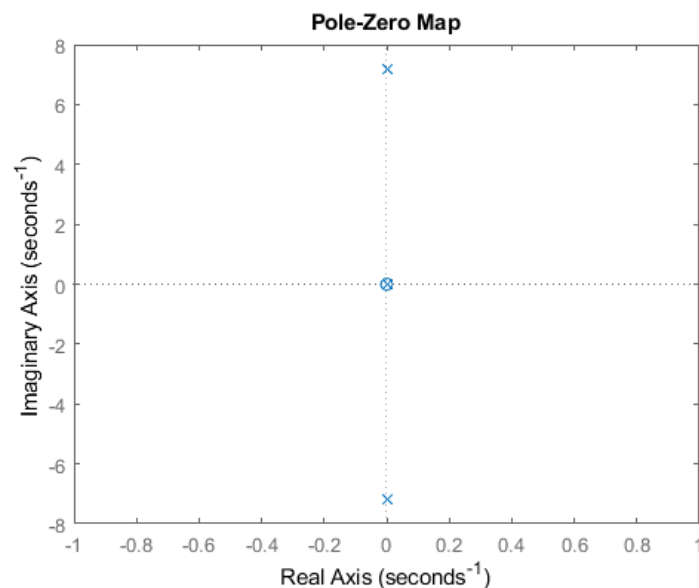
Continuous-time transfer function.

$$P_{cart} = \frac{۰.۰۵۱ s^۲ + ۱.۴۷۱}{۰.۰۲۸۵ s^۴ + ۱.۴۷۱ s^۲}$$

Continuous-time transfer function.

۲,۲ محل صفر و قطب ها

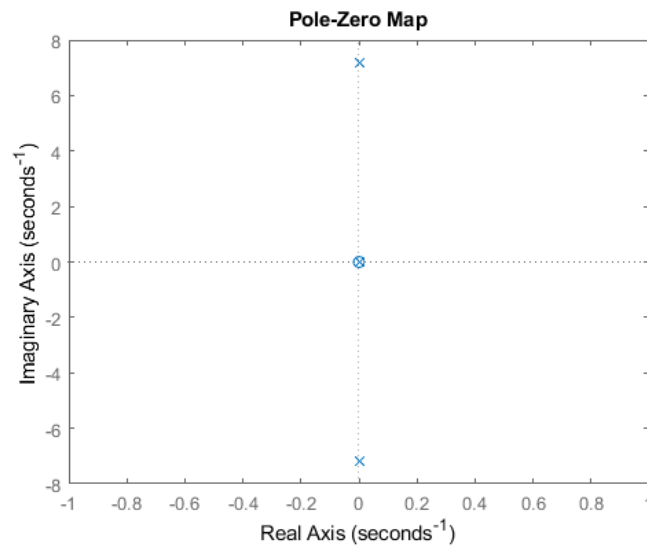
pzplot (P_pend)



شکل ۲-۱: صفر و قطب ها

سیستم حلقه باز یک قطب در سمت راست محور حقیقی دارد که بر اساس مطالب درس کنترل باعث ناپایداری می شود.

impulse (P_pend)

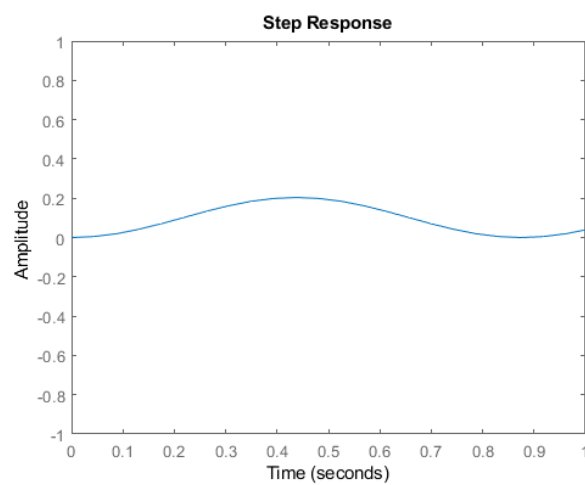


شکل ۲-۲: پاسخ ضربه

همانطور که از قسمت ۲.۳ انتظار داشتیم عامل ناپایداری در پاسخ ضربه خودش را نشان داد.

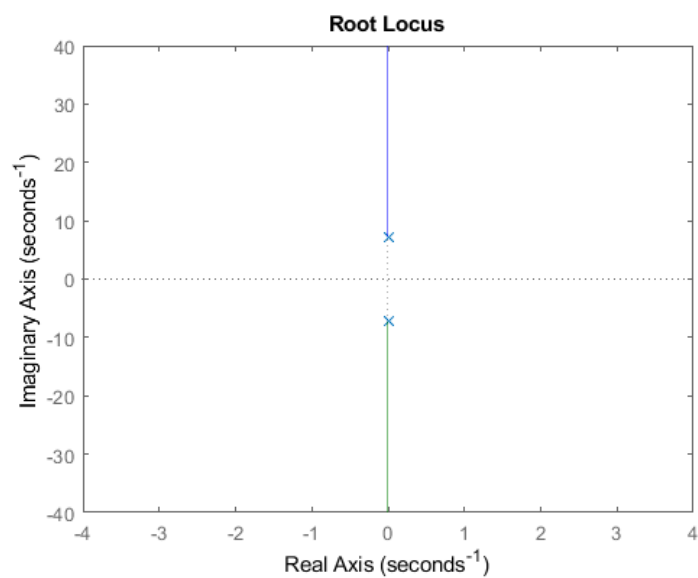
به علت در نظر نگرفتن عامل میرایی دامنه سیستم به بینهایت میل کرده است .

step (P_pend)



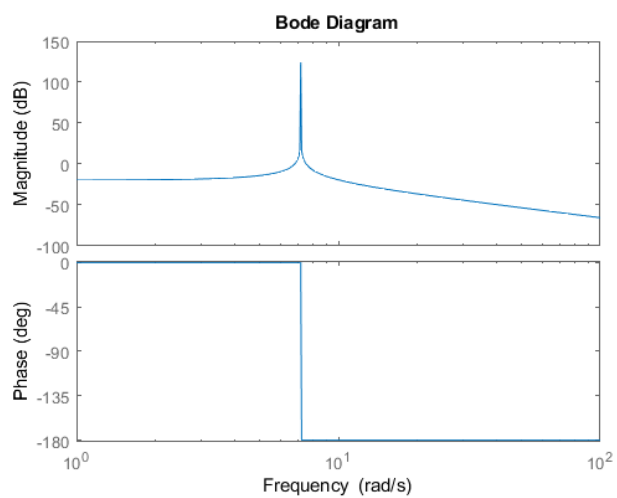
شکل ۲-۳

rlocus (P_pend)



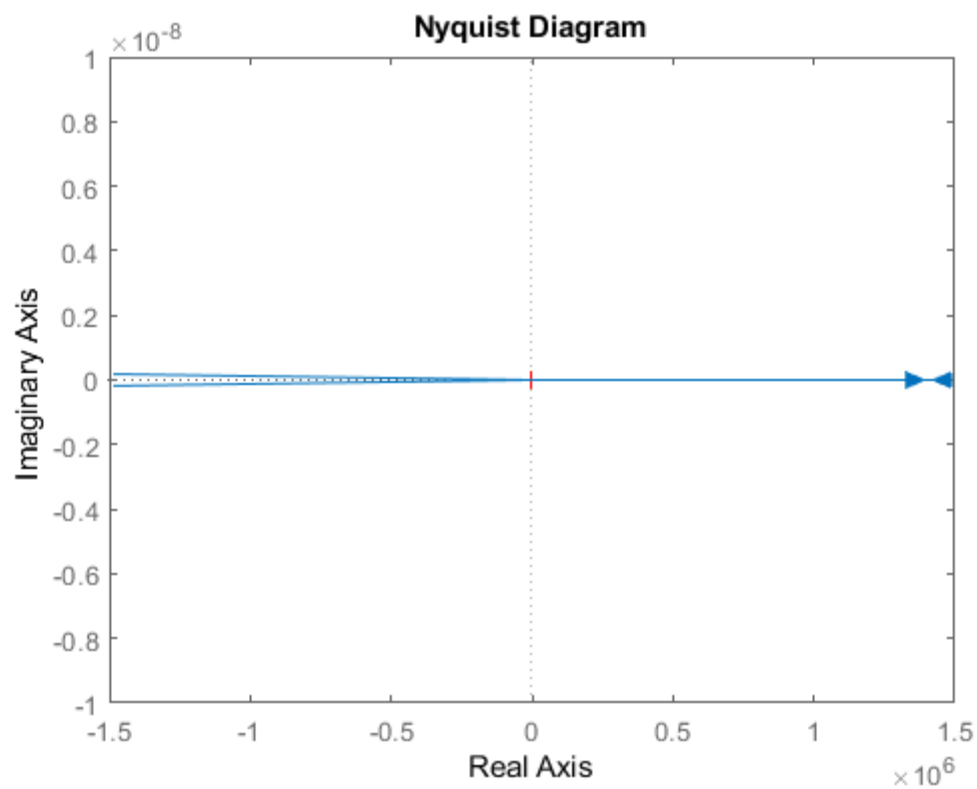
شکل ۲-۴

bode (P_pend)



شکل ۲-۵

nyquist (P_pend)



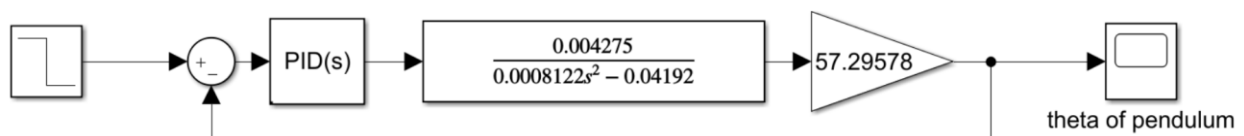
شکل ۲-۶

۳ مدل سازی در سیمولینک

تابع تبدیل برای مکان و زاویه به ترتیب

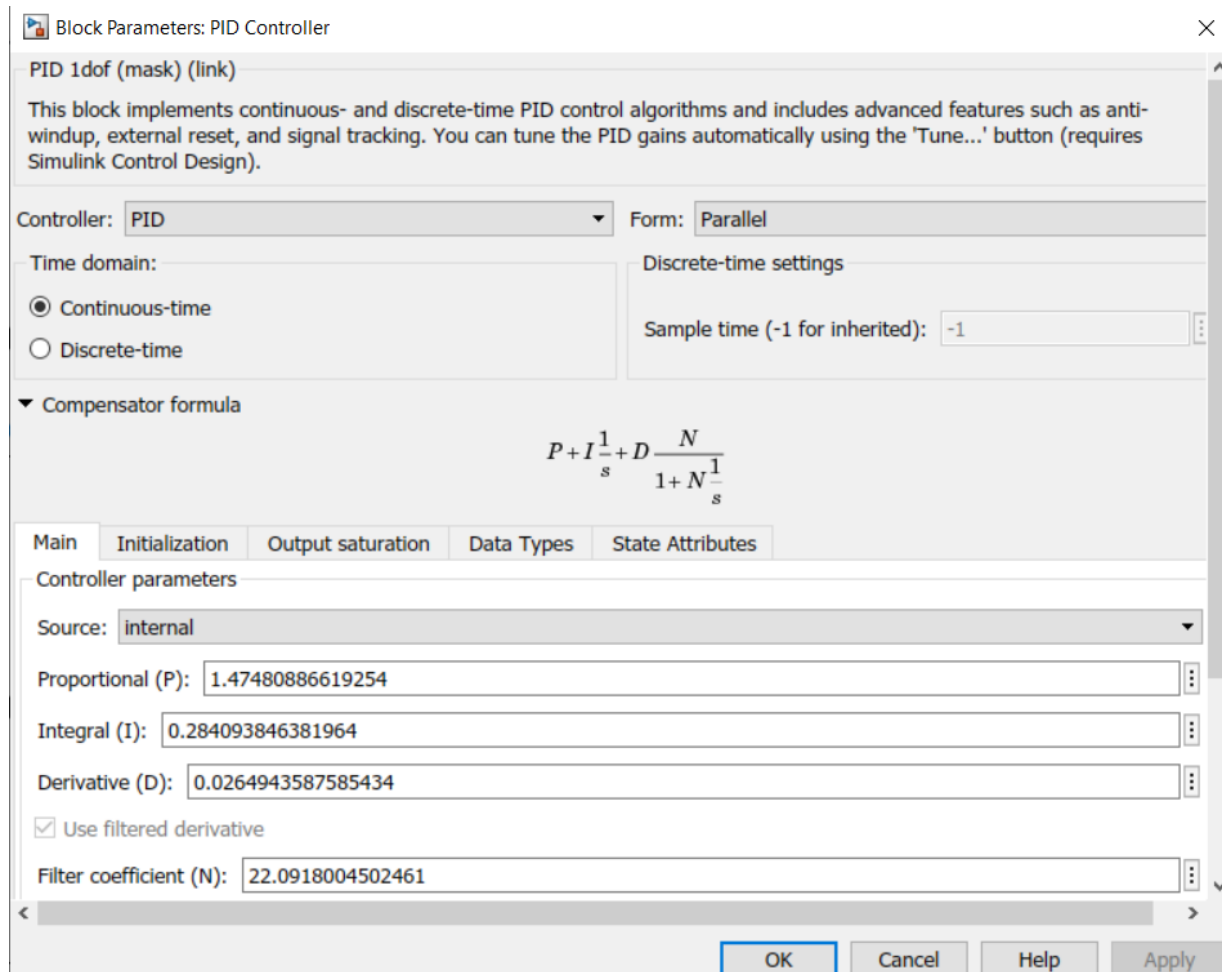
$$\begin{cases} P_{cart} = \frac{0.004275}{0.0008122s^2 + 0.04192} \\ P_{pend} = \frac{0.051s^2 + 1.471}{0.0285s^4 + 1.471s^2} \end{cases}$$

و پس از ایجاد مدل در سیمولینک و استفاده از کنترلر PID



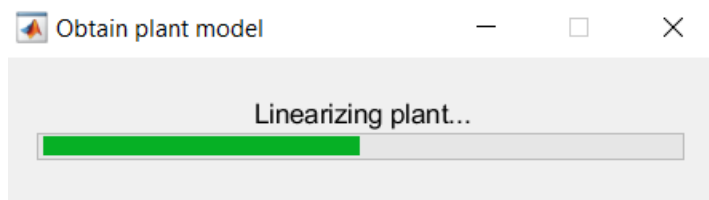
شکل ۳-۱

برای تنظیم کردن کنترلر می توان از خود متلب کمک گرفت ، با دو بار کلیک بر روی کنترل کننده

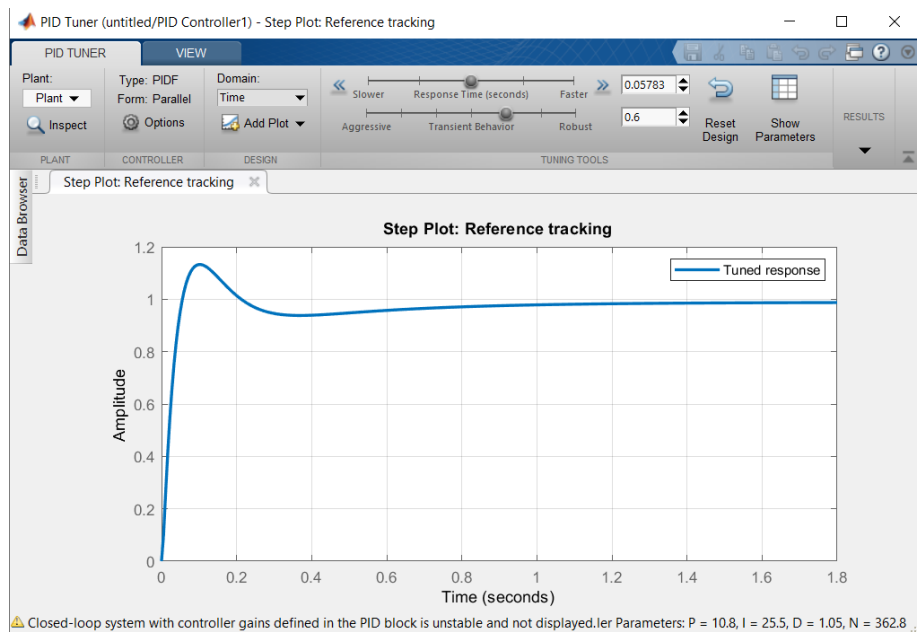


شکل ۳-۲

و کلیک بر دکمه Tune به صفحه زیر هدایت می‌شویم.



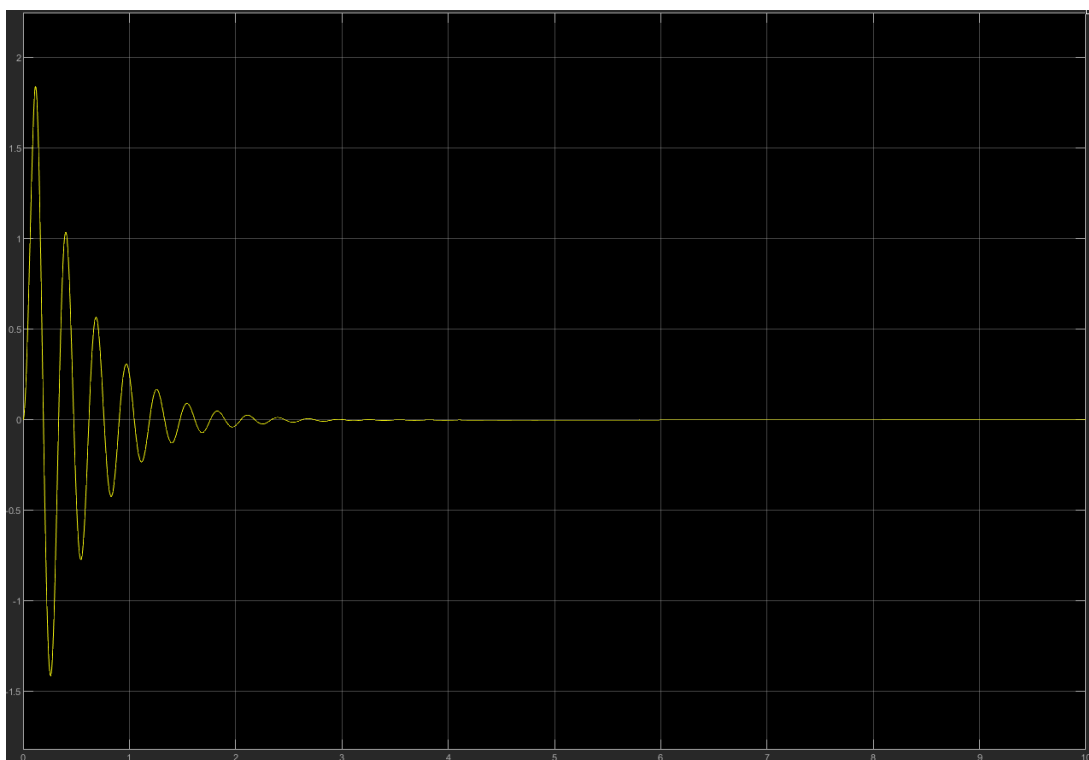
شکل ۳-۳



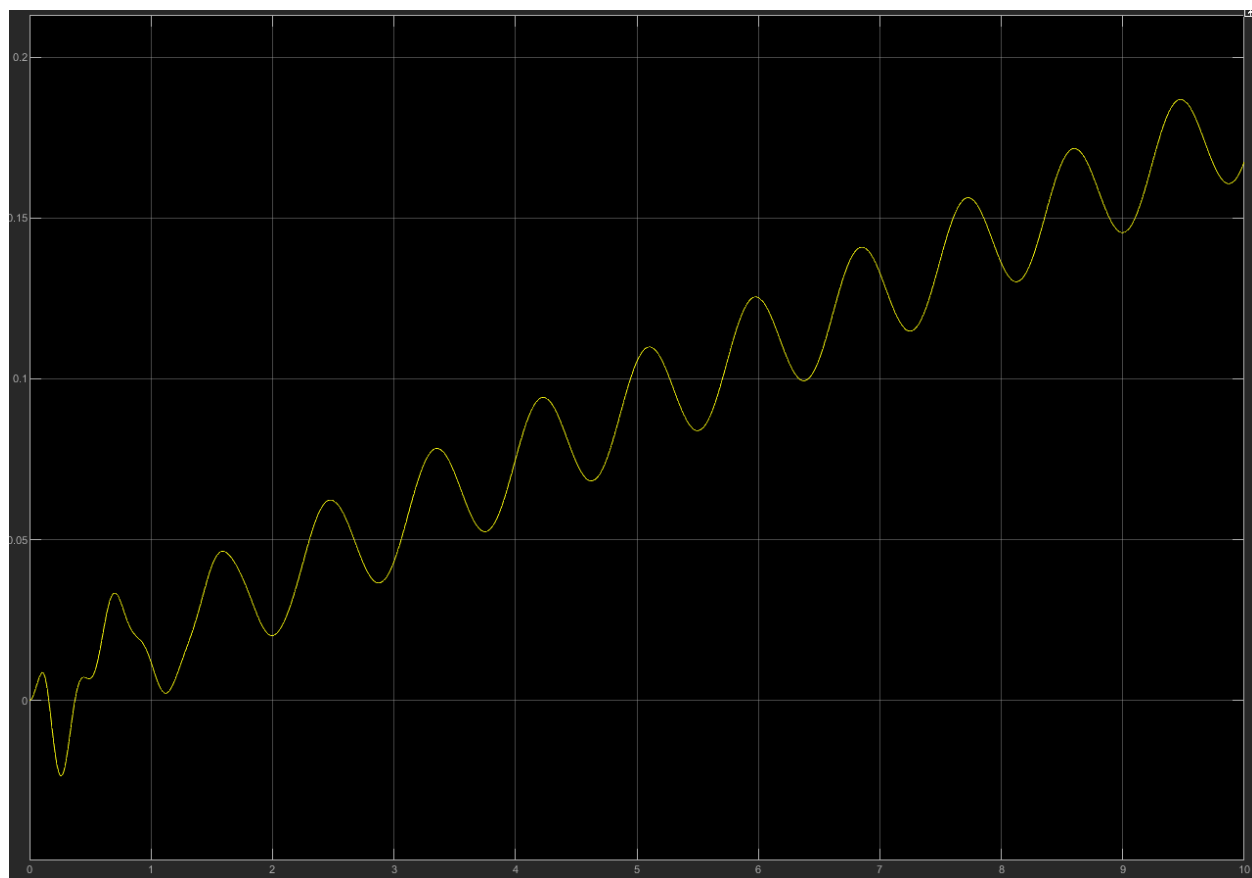
شکل ۴-۳

برای اورشوت کمتر از ۲۰٪ و زمان نشت کمتر ۱ می توان کنترل را تنظیم نمود.

و در نهایت خروجی کنترلر



شکل ۵-۳ خروجی برای زاویه

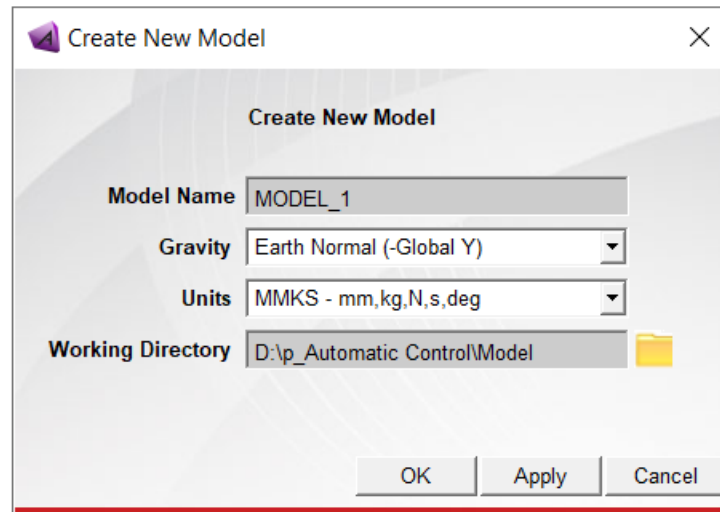


شکل ۳-۶ خروجی مکان

۴ مدل سازی در آدامز

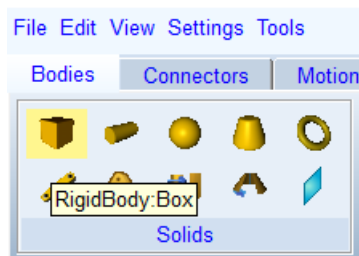
۱. قدم اول

می بایست مدلی را ایجاد کنیم در آدرسی که ویندوز اجازه دسترسی (خوان و نوشتن) به نرم افزار به دهد .

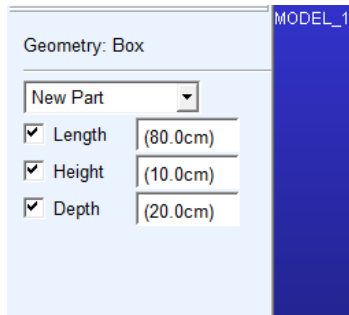


شکل ۴-۱ create new model

۲. حال می بایست جعبه ای به مختصات زیر در آدامز تعریف کنیم

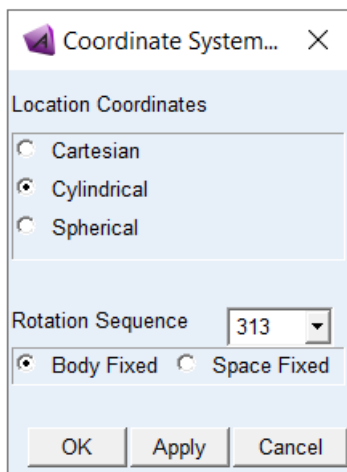


شکل ۴-۲ Body Tab>Bodies>Box

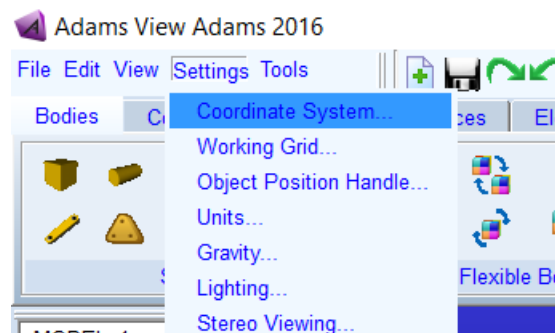


شکل ۴-۳ ابعاد جعبه (گاری)

۳. برای راحتی در تعریف پاندول مختصات آدامز را به قطبی تغییر می دهیم .

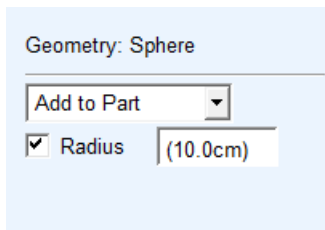


شکل ۴-۵ polar

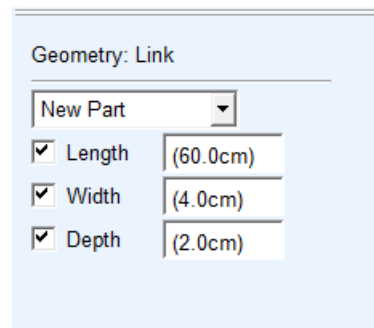


شکل ۴-۴ Coordinate

سپس میله ای در مرکز جرم گاری و به مشخصات زیر تعریف می کنیم و گویی به انتهای آن متصل می کنیم (به پارت ۳ اضافه می کنیم).

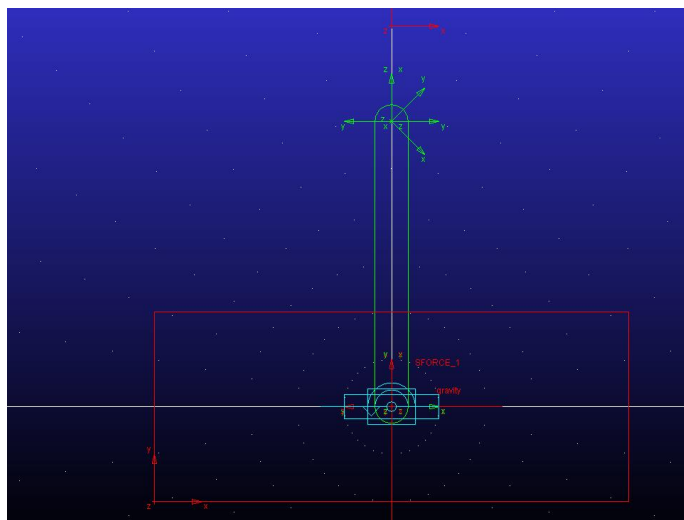


شکل ۴-۷ تعریف کوی



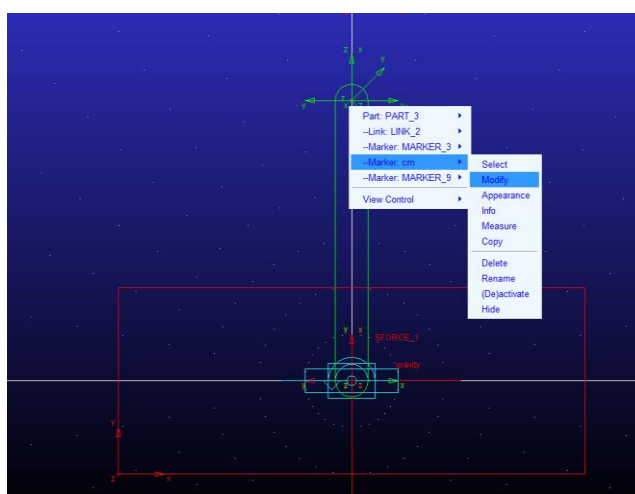
شکل ۴-۶ تعریف میله

شکل نهایی باید شبیه شکل ۲-۸ باشد .

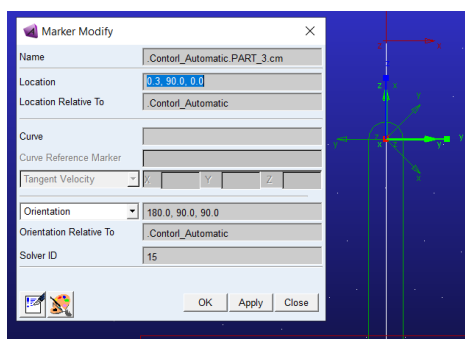


شکل ۴-۸ شکل شماتیک گاری و میله

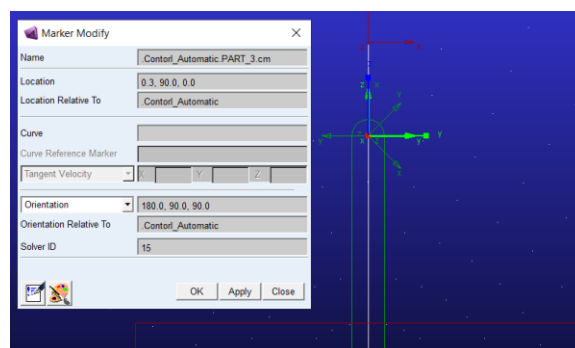
۴. برای راحتی در محاسبات مرکز جرم میله و جرم متمرکز روی آن را به مرکز کره منتقل کرده .



شکل ۴-۹ انتخاب پروپرتیز میله

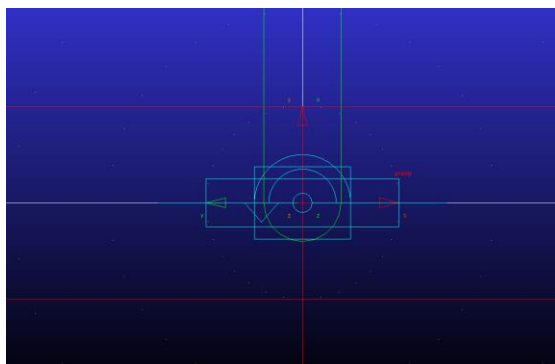


شکل ۴-۱۱ تغییر مختصات مرکز جرم به نقطه ۹۰ و ۹۰



شکل ۴-۱۰ باز کردن قسمت مودیفی

۵. حال باید قید های موجود را در نرم افزار وارد کنیم. قیود شامل یک لولا و یک حرکت ریلی می باشد .



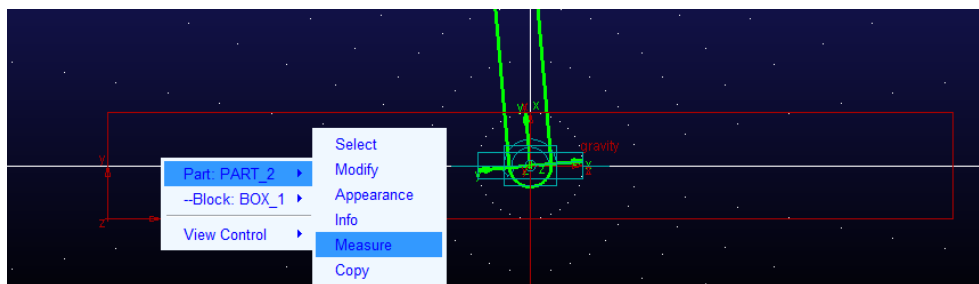
شکل ۴-۱۲ قید لولا برای میله و حرکت مستقیم الخط برای گاری

۶. تا قسمت ۷ فیزیک مسئله در حال تعریف بود اما تا مرحله ۹ اندازه گیرنده ها را تعریف می کنیم.

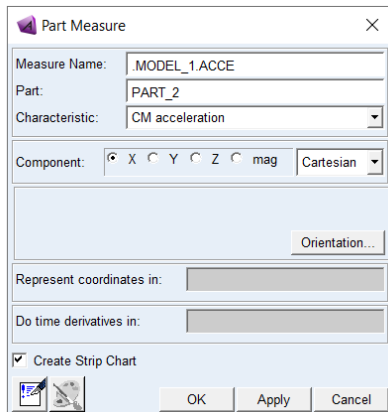
برای ایجاد ارتباط بین نرم افزار آدامز و متلب می بایست دستوراتی اعمال شود با توجه به تابع تبدیل نیاز به اندازه گیری زاویه ، سرعت زاویه ای ، شتاب زاویه ای (البته می توان تنها زاویه را دریافت کرد و برای سرعت و شتاب از مشتقات زاویه استفاده نمود). مکان گاری ، سرعت گاری ، شتاب گاری و در نهایت نیروی وارده به گاری به عنوان ورودی در نظر گرفته شود .

در توضیحات بالا موارد مورد نیاز برای اندازه گیری تعریف شدند و در قسمت بعد مقادیر فوق را ابتدا با دستور مژر اندازه گرفته سپس متغیری در خروجی فایل متلب آدامز تعریف نموده و سپس در نرم افزار متلب رفتار سیستم را به ورودی دلخواه بررسی خواهیم نمود.

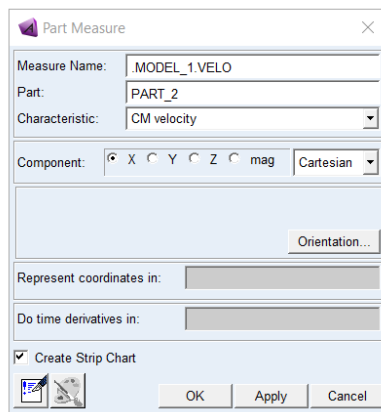
تعریف حسگر های گاری شامل مکان ، سرعت و شتاب می باشد.



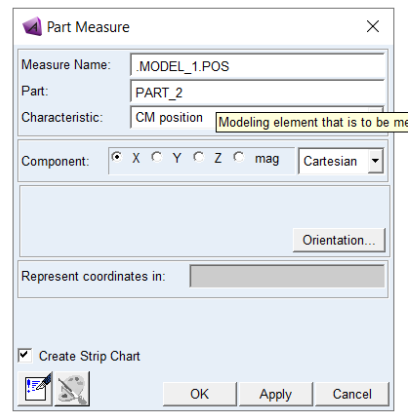
شکل ۴-۱۳



شکل ۴-۱۶ تعریف مژر شتاب



شکل ۴-۱۵ تعریف مژر سرعت

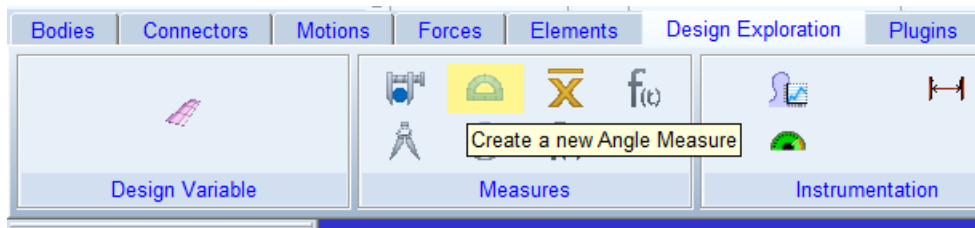


شکل ۴-۱۴ تعریف مژر مکان

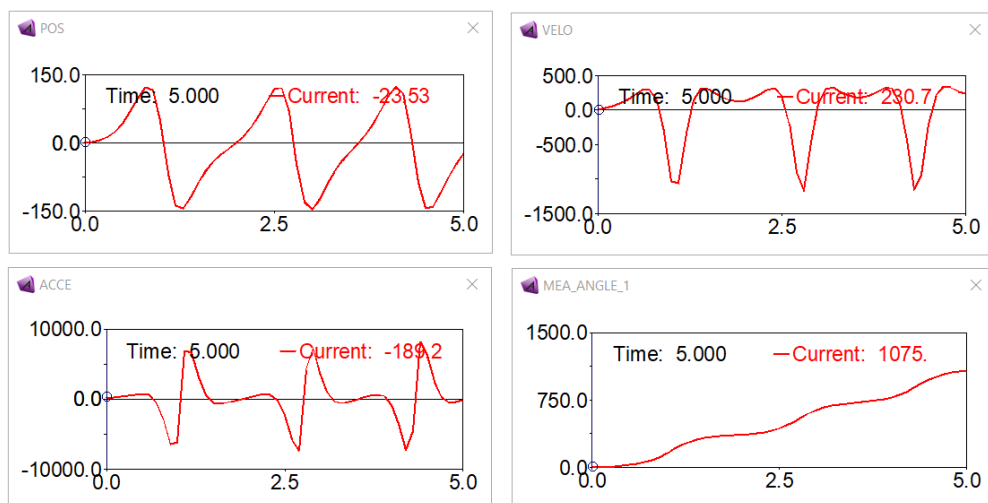
۷. این بخش در واقع ادامه بخش ۷ است برای پاندول

حسگر های موجود در این قسمت زاویه ، سرعت زاویه ای و شتاب زاویه ای است .

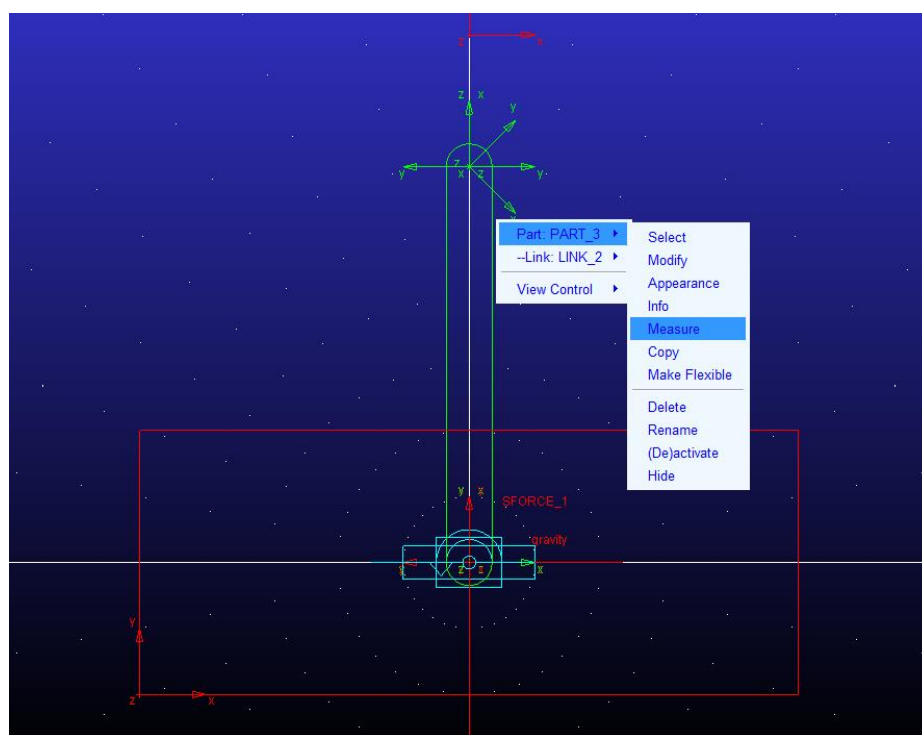
برای ایجاد زاویه یک مارکر همانند شکل ۱-۱۸ کلیک کرده و روی جسم ۲ و در راستای محور Y و گذرنده از مبدا جسم ۲ ایجاد می کنیم و سه نقطه مد نظر را به صورت زاویه طی می کنیم . (ابتدا مارکر ایجاد شده ، مبدا مختصات و در نهایت مرکز جرم پاندول)



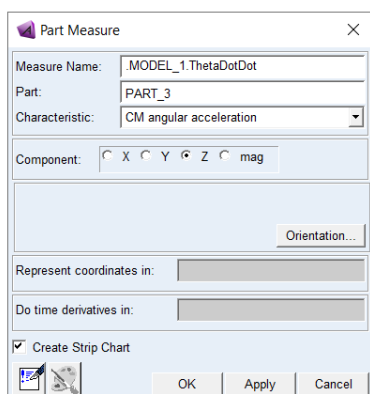
شکل ۴-۱۷



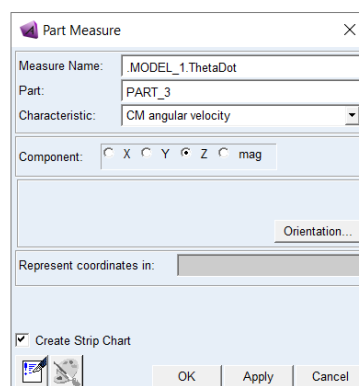
شکل ۴-۱۸ خروجی های آدامز برای مژدهای تعریف شده (صرفاً جهت چک کردن مدل سازی درست).



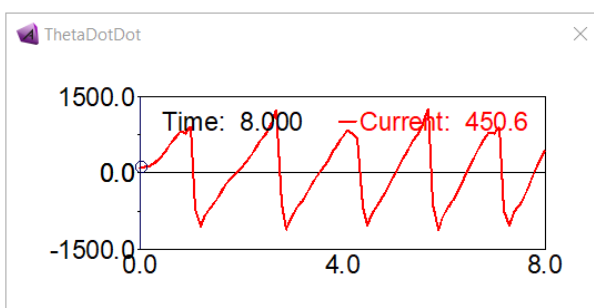
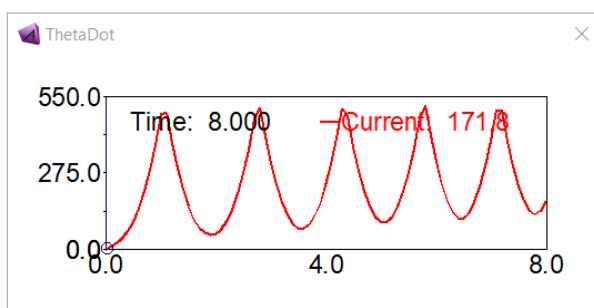
شکل ۴-۱۹



شکل ۴-۲۱

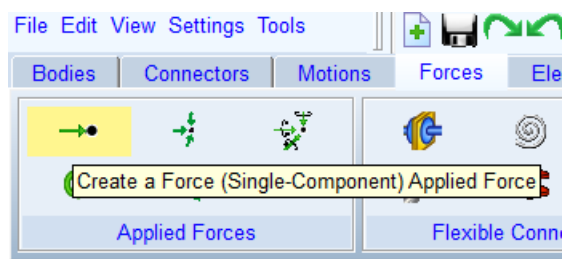


شکل ۴-۲۰

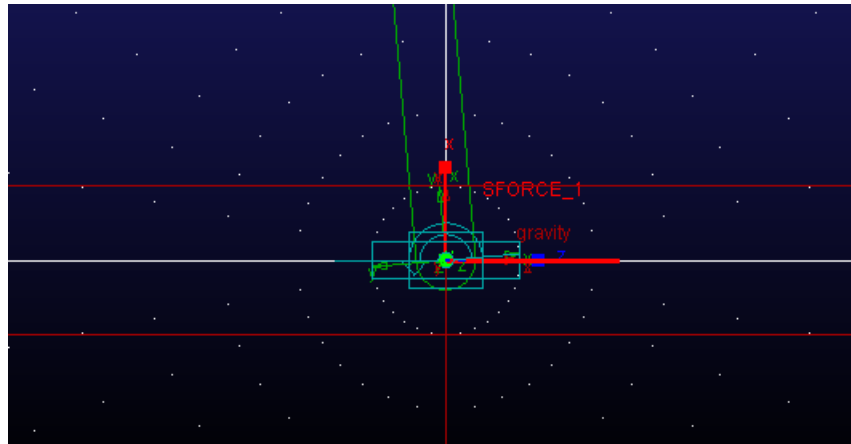


شکل ۴-۲۲

۸. حال وقت تعریف نیروی ورودی یا کنترل کننده گاری است همانند شکل ۲-۲۴ نیرو را انتخاب کرده و جسم ۲ را یک بار انتخاب کرده و سپس روی مبدا آن نیرو را اعمال می‌کنیم.

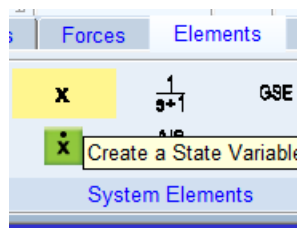


شکل ۴-۲۳ کامپوننت نیرو



شکل ۲۴-۴ موقعیت نیرو بر گاری

۹. حال می‌بایست مقادیر مژرها را به متغیری نسبت دهیم^۱. برای این کار یک متغیر حالت^۲ تعریف می‌کنیم



شکل ۲۵-۴ متغیر حالت در تب المنت

پنجره‌ی موجود در شکل ۲-۲۷ باز می‌شود.

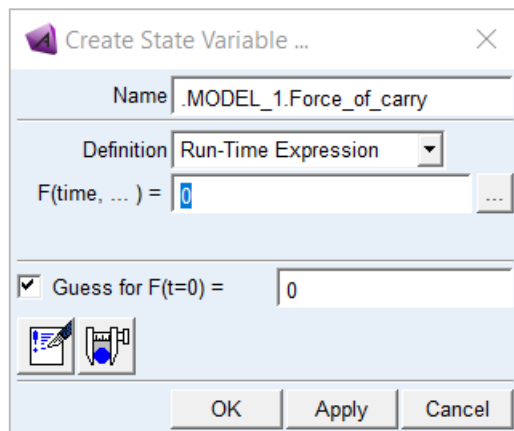
توجه : نام متغیر حالت در آدامز نباید قبلاً به متغیر دیگری (مژرها ، قیدها ، توابع خود آدامز و ...) داده شده باشد .

توجه : نام متغیر حالت در متلب نیز به همان نام شناخته خواهد شد .

در پنجره‌ی باز شده نام نیروی گاری را وارد می‌کنیم و مقدار اولیه نیرو را صفر پر نظر می‌گیریم .

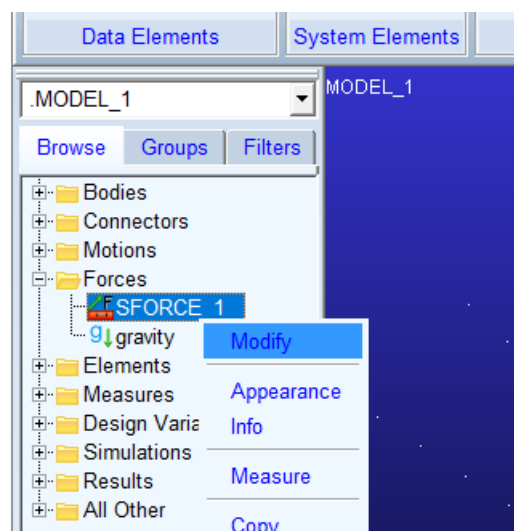
¹ Assign

² State variable

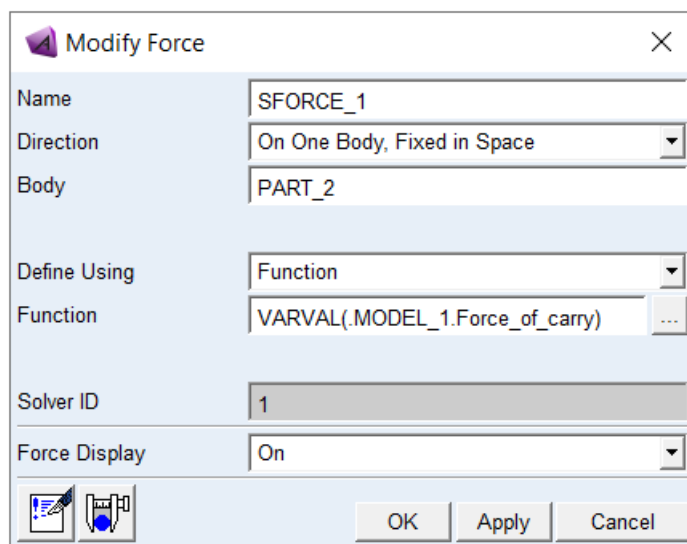


شکل ۴-۲۶ ایجاد متغیر حالت برای نیروی گاری

حال می‌بایست ارتباط بین نیرو و متغیر حالت نیرو را برقرار کنیم. برای این منظور با باز کردن پراپرتیز نیرو همانند شکل ۲-۲۸ و وارد کردن مشخصات شکل ۲-۲۹ ارتباط کامل می‌شود.



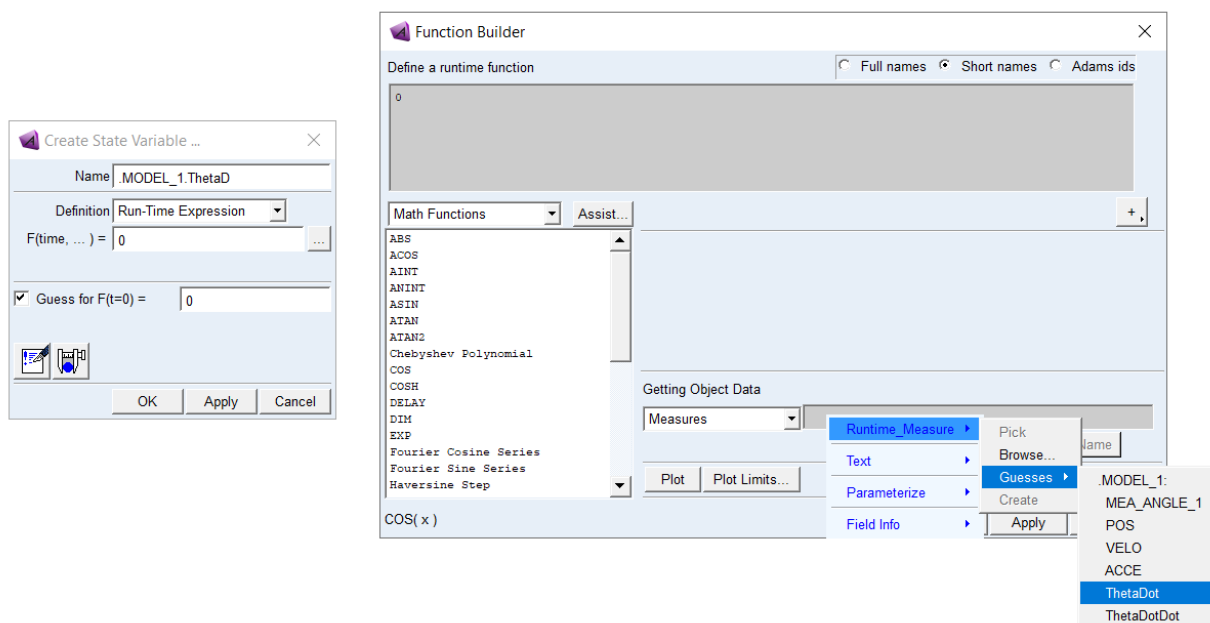
شکل ۴-۲۷



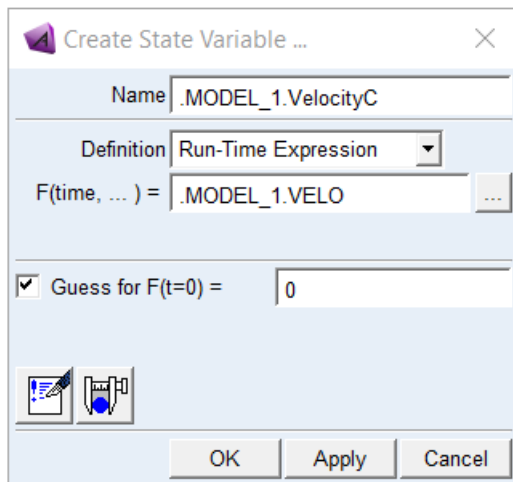
شکل ۴-۲۸

دستور VARVAL مقدار متغیر حالت را خوانده و سپس در نیروی گاری قرار می‌دهد.

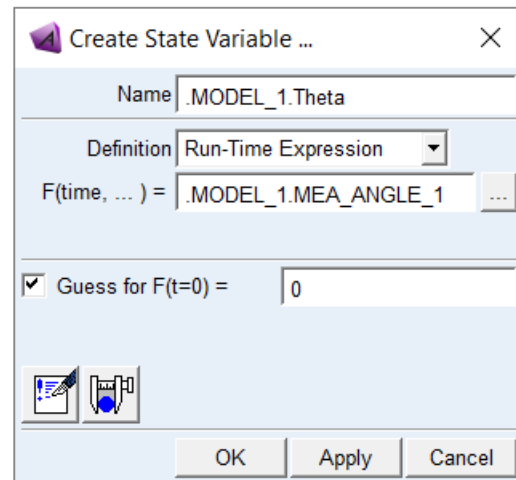
۱۰. حال می‌بایست پل ارتباطی بین زاویه میله و گاری را به متغیر حالت مرتبط کنیم.



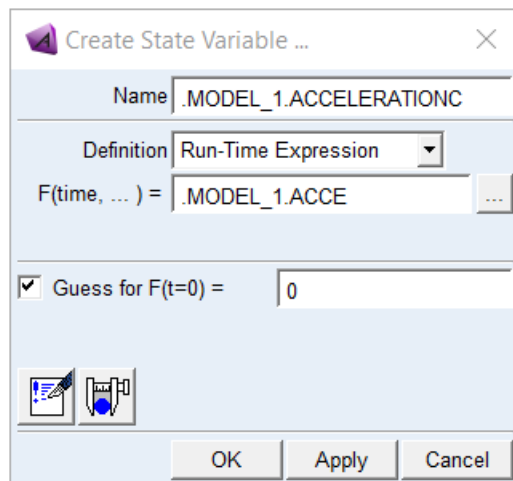
شکل ۴-۲۹ ارتباط بین زاویه و متغیر حالتش



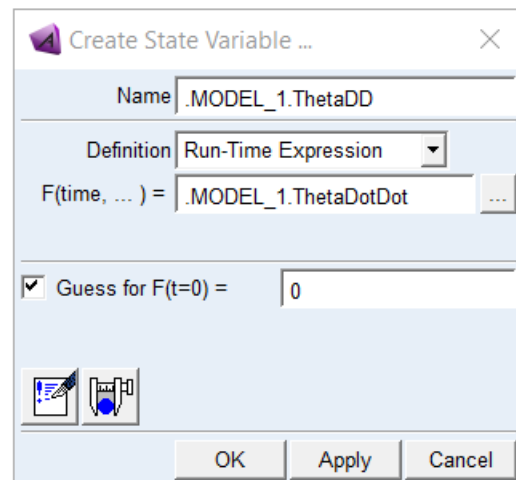
شکل ۴-۳۲



شکل ۴-۳۰



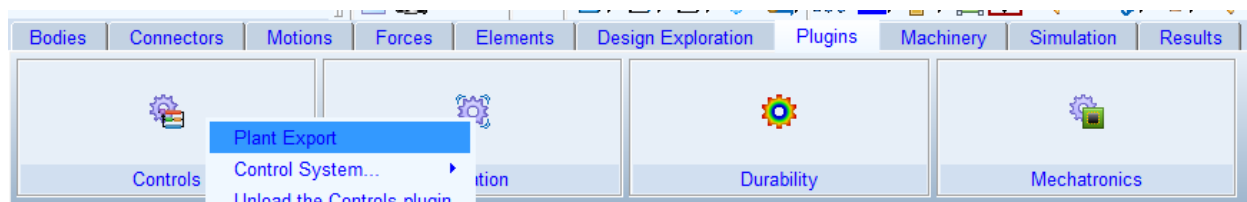
شکل ۴-۳۳



شکل ۴-۳۱

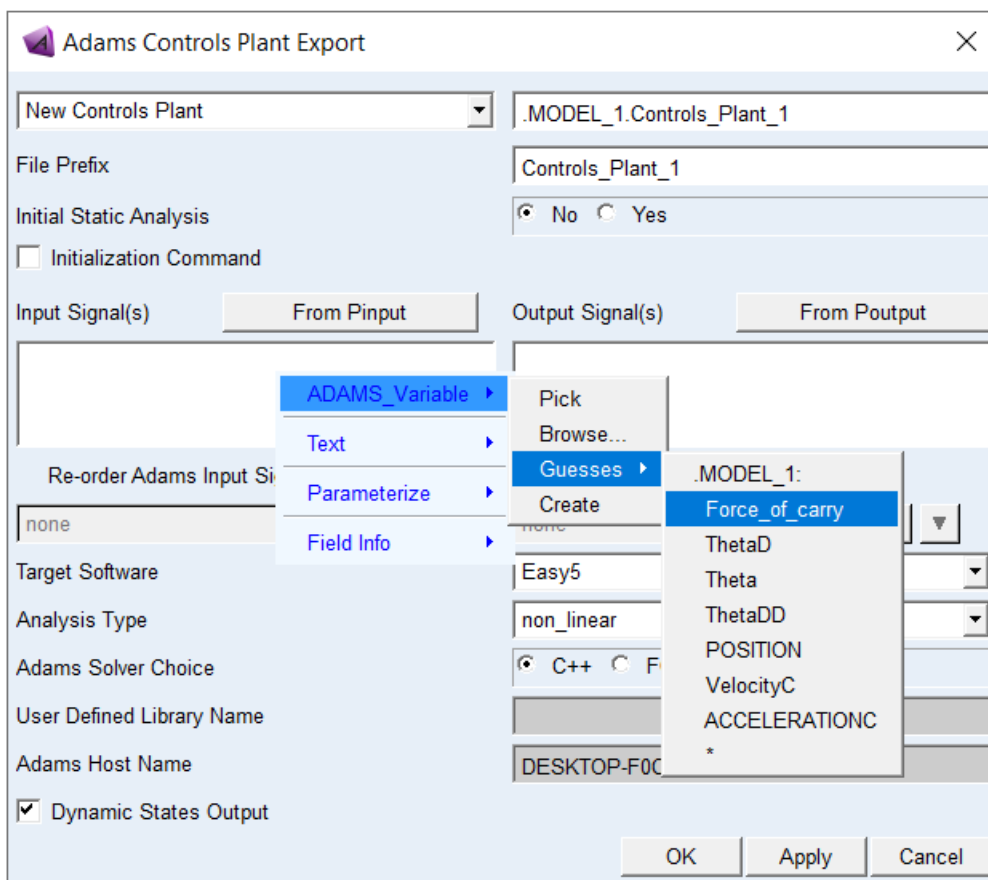
۱۱. حال وقت آن رسیده است سیستم خود را به قالب نرم افزار های شبیه سازی گرافیکی همچون Easy5 و MATLAB خروجی بگیریم .

همانند شکل ۲-۳۵ به تب پلاگینز رفته و روی پلاگین کنترل کلیک می کنیم و پس از اجرای این پلاگین روی پلنت اکسپورت کلیک می کنیم .



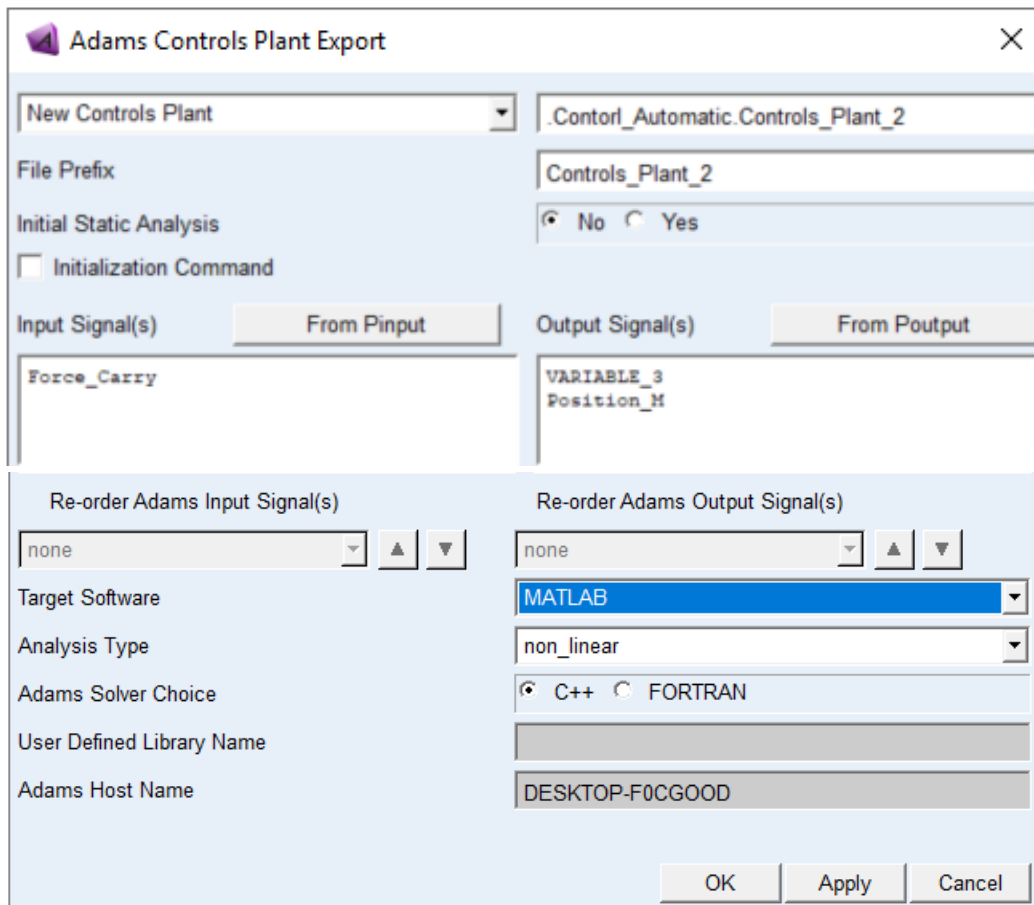
شکل ۴-۳۴

پنجره ADAMS Control Plant Export نمایان می شود.



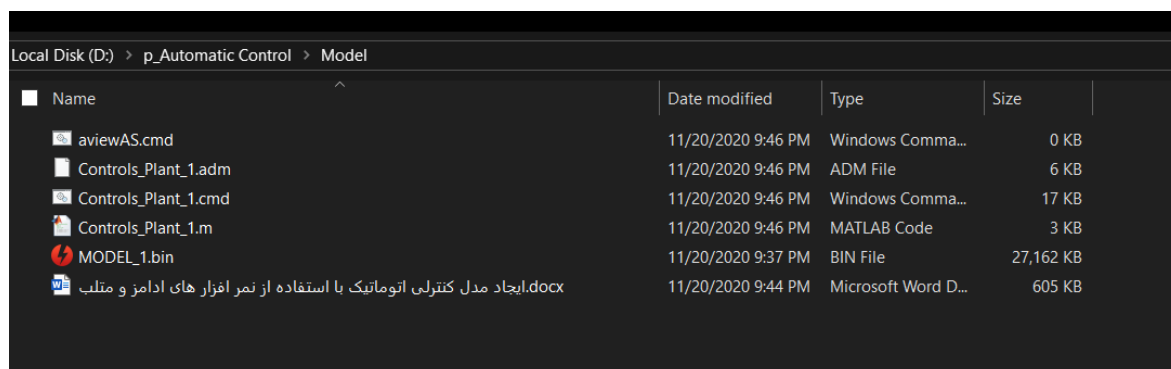
شکل ۴-۳۵ ADAMS Control Plant Export

در این قسمت باید مشخص کنیم که از متغیرهای حالت تعریف شده در قسمت های قبل کدام یک به عنوان ورودی و کدام یک به عنوان خروجی می باشند. نیروی اعمال شده به گاری را به عنوان ورودی و مابقی متغیرها را به عنوان خروجی تعریف می کنیم.



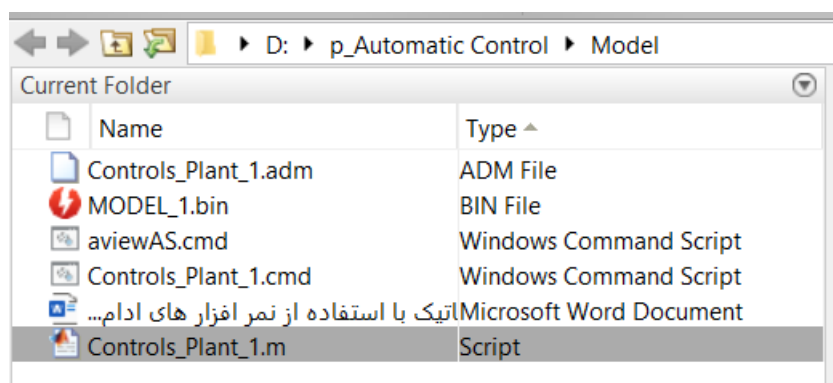
شکل ۳۶-۴ تنظیمات ADAMS Control Plant Export

۱۲. در این قسمت کار با آدامز تمام شده است و می‌توان آن را بست. حال به محل ادرس پوشه کاری^۳ رفته و روی فایل Controls_Plant.m کلیک می‌کنیم.



شکل ۳۷-۴ دایرکتوری نرم افزار

³ Directory work place



شکل ۴-۳۸ نمایی از current folder نرم افزار متلب

در پنجره اصلی متلب همانند تصویر ۴۰-۲ ورودی ها و خروجی ها فایل `m\Controls_Plant_1.m` مشاهده می شوند.

```
Command Window
New to MATLAB? See resources for Getting Started.

>> run('D:\p_Automatic Control\Project\Simulink and adams\Controls_Plant_1.m')

ans =

    '01-Feb-2021 14:24:27'

%%% INFO : ADAMS plant actuators names :
1 Force_Carry
%%% INFO : ADAMS plant sensors names :
1 Position_M
2 VARIABLE_3

fx >>
```

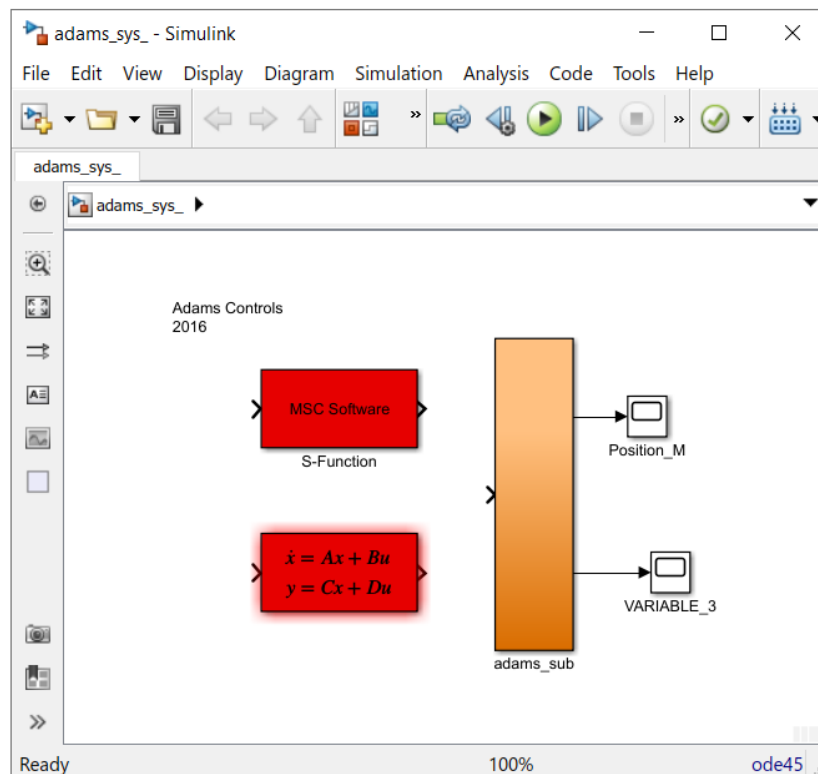
شکل ۴-۳۹ نمایی از صفحه اصلی متلب

همانند شکل ۴۰-۲ متن زیر را تایپ می کنیم.

`>>adams_sys`

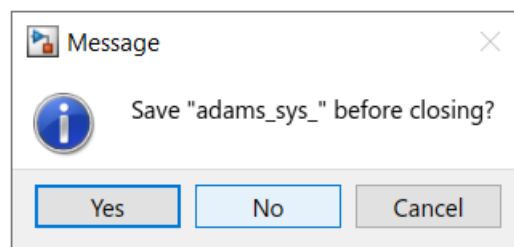
دستور فوق فرمان ایجاد مدل سیمولینک از فایل `m\Controls_Plant_1.m` را صادر می کند.

و بلافاصله مدل سیمولینک اجرا می‌شود .



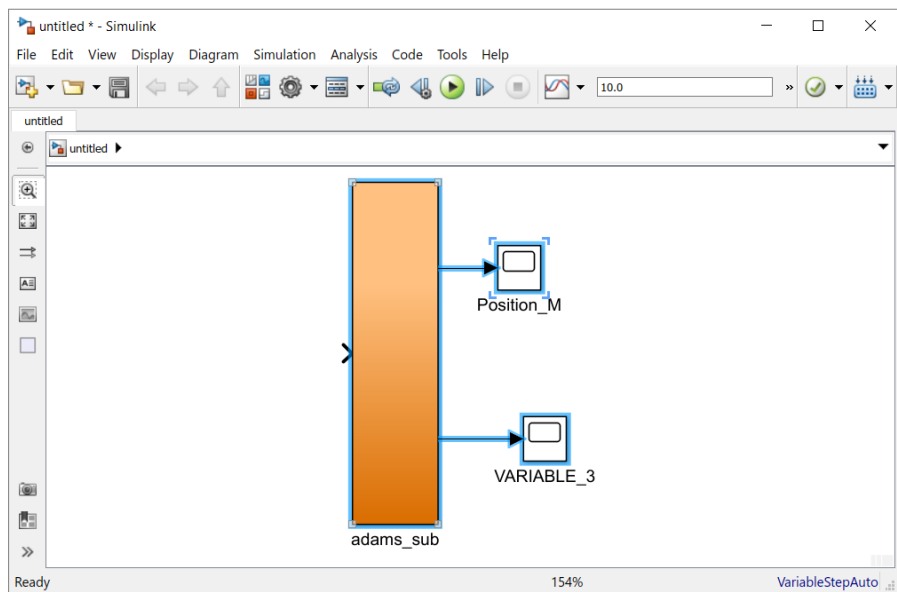
شکل ۴-۴۰ نمایی از فایل *adams_sys.mlx*

۱۳. توجه : توجه : توجه: به هیچ وجه هیچ گونه تغییری در فایل *adams_sys.mlx* ندهید و تمامی کار های خود را در فایل سیمولینک دیگری اعمال کنید در غیر این صورت مجبور به حذف و نصب مجدد آدامز خواهید بود چون هسته محاسباتی آن مخدل می‌شود.

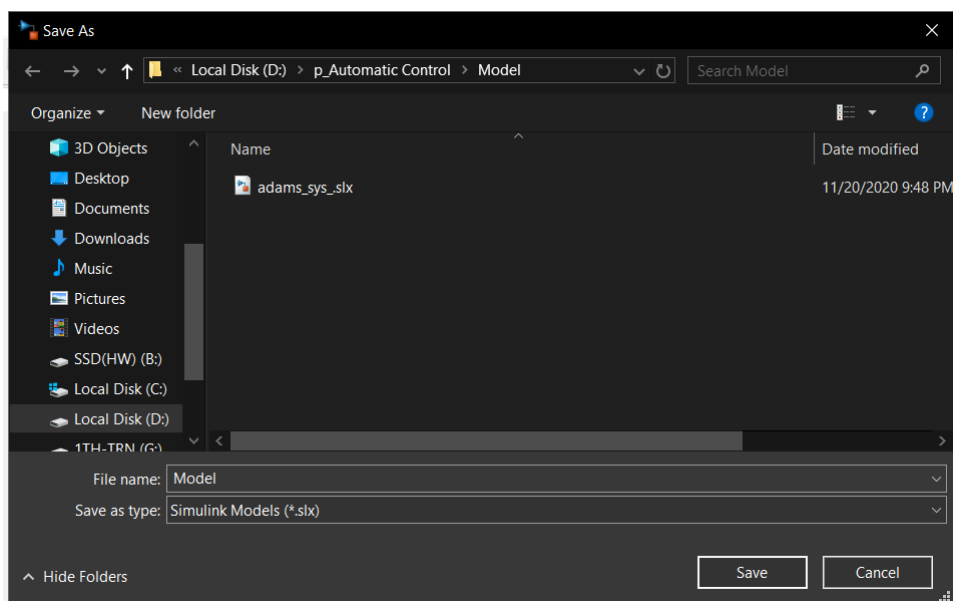


شکل ۴-۴۱ هیچ وقت *adams_sys.mlx* را تغییر ندهید .

۱۴. فایل سیمولینک جدید ایجاد کرده و قسمت *adams_sub* و *scope* های متصل به آن را کپی کرده و *adams_sys.mlx* را بدون تغییر ببندید.



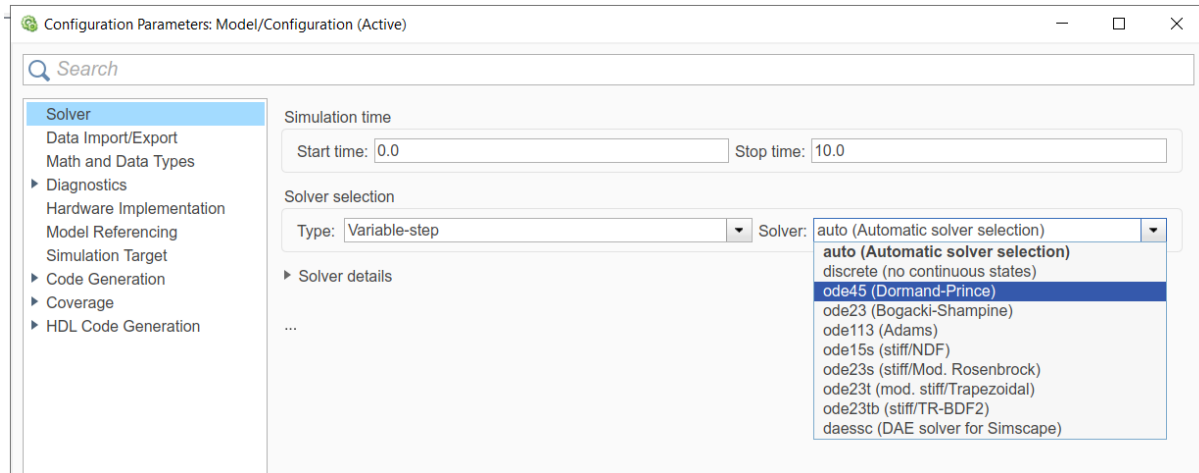
شکل ۴۲- ایجاد مدل جدید



شکل ۴۳- ذخیره مدل جدید

۱۵. حال می‌بایست حل گر معادلات دیفرانسیل متلب را تنظیم کنیم.

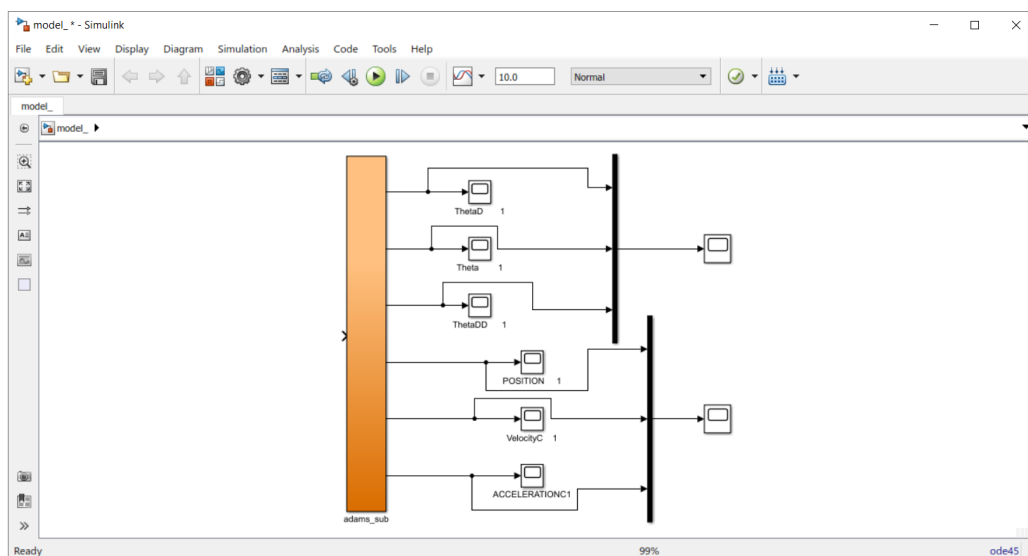
حل گر را همانند شکل ۲-۴۵ بر $ode45$ تنظیم می کنیم.



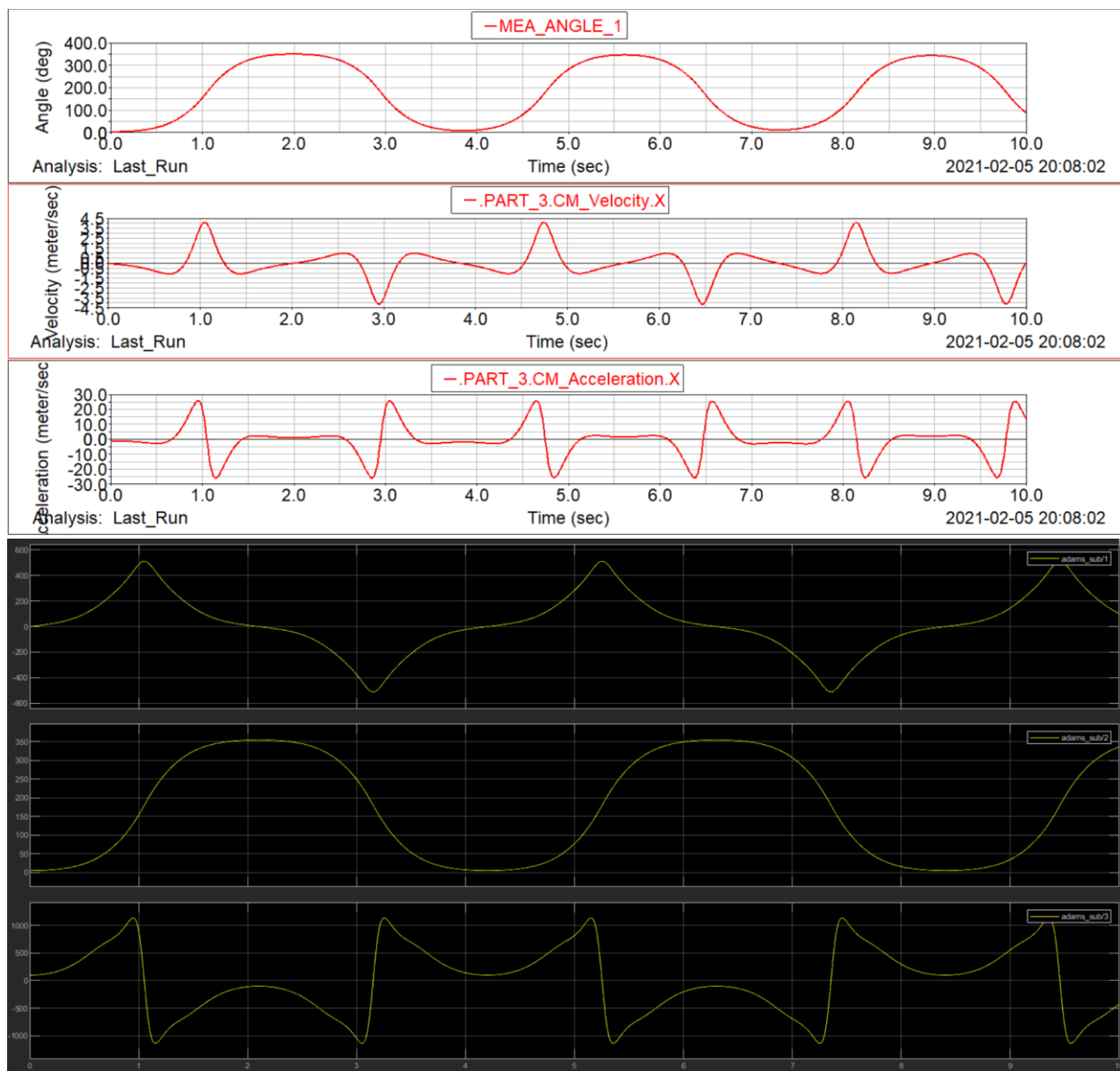
شکل ۴۴-۴۵ ode

۱۶. برای بررسی درستی مراحل تا این قسمت سیستم را بدون کنترلر اجرا می کنیم. (به فایل های پوشه Validation مراجعه کنید).

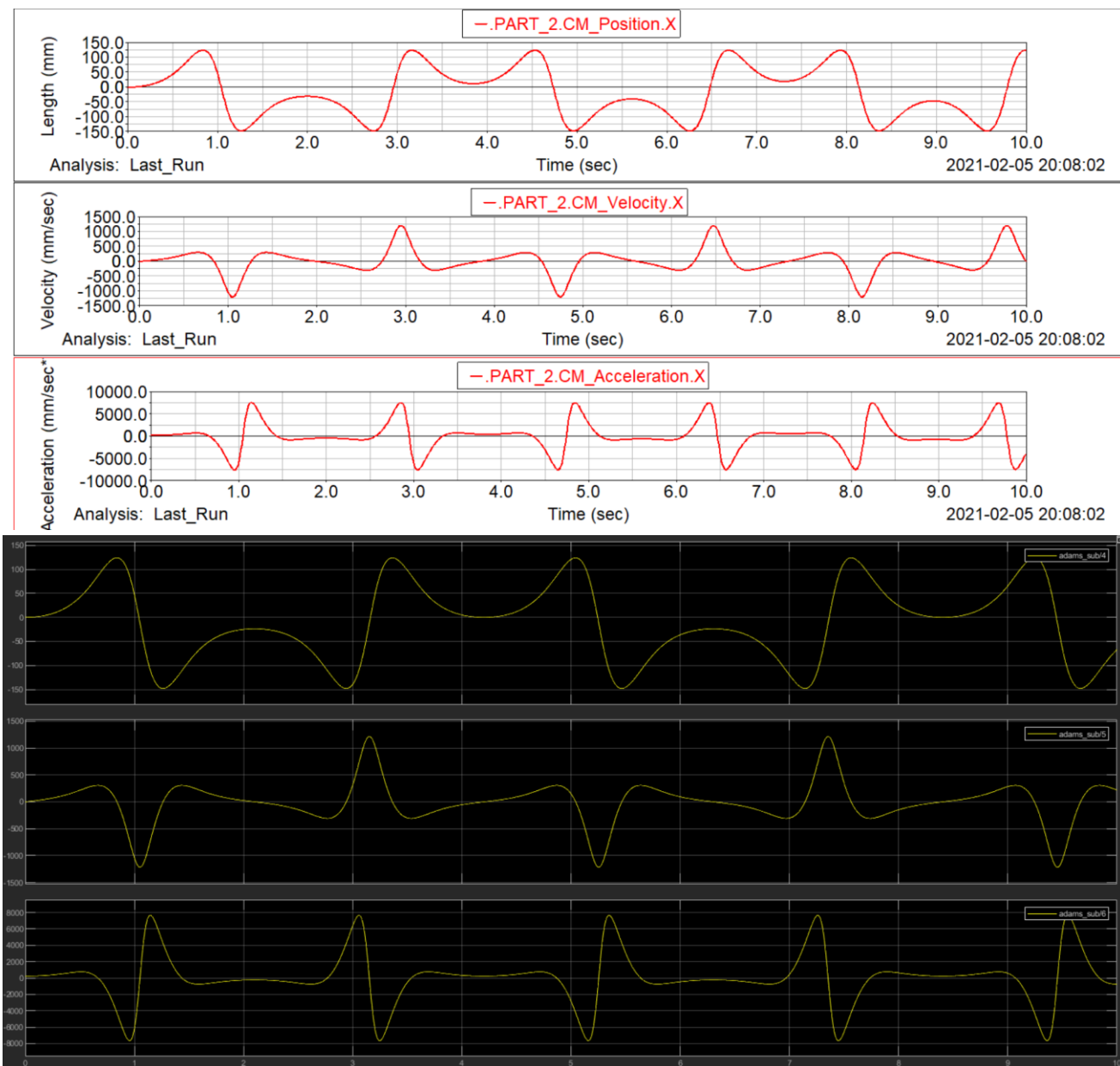
در این فایل ها به عنوان شرط اولیه زاویه پاندول دارای ۵ درجه انحراف می باشد و هدف مقایسه خروجی آدامز و متلب است .



شکل ۴۵-۴۴



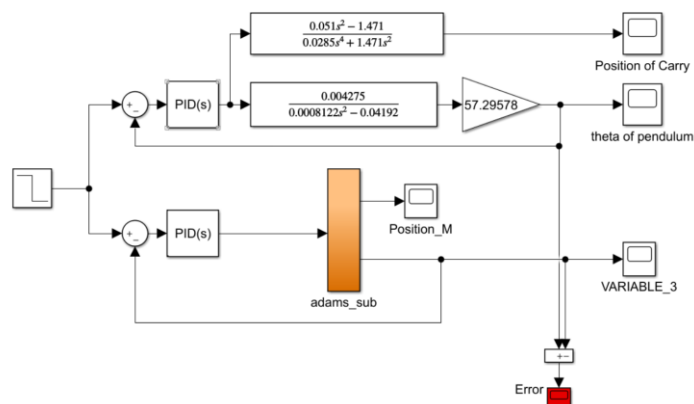
شکل ۴-۴۶



شکل ۴-۴۷

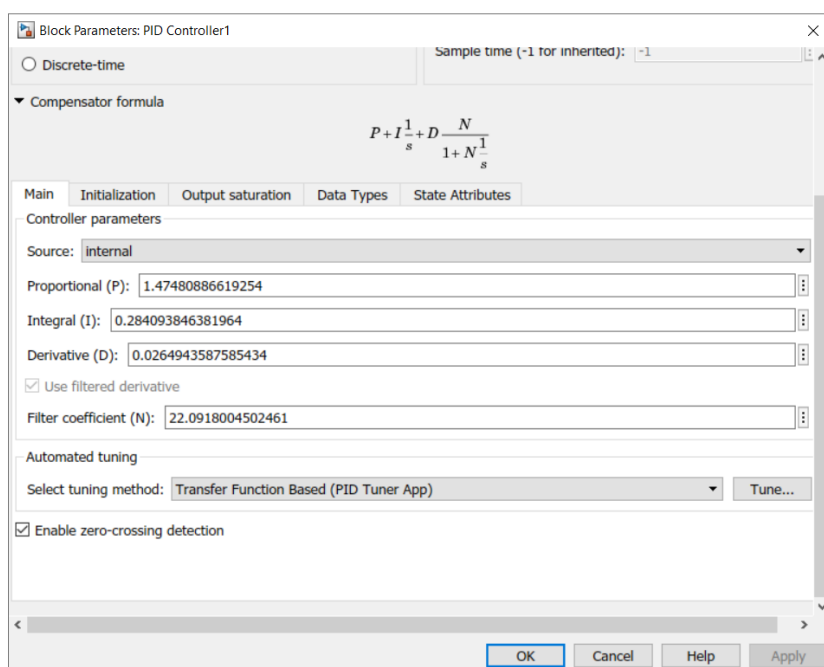
۵ کنترل PID

با استفاده از محاسبات فصل ۱، ۲ و ۳ تابع تبدیل برای حالت بدون اصطکاک را محاسبه نموده و در سیمولینک آن را تنظیم کرده (برای شرایط اولیه صفر).



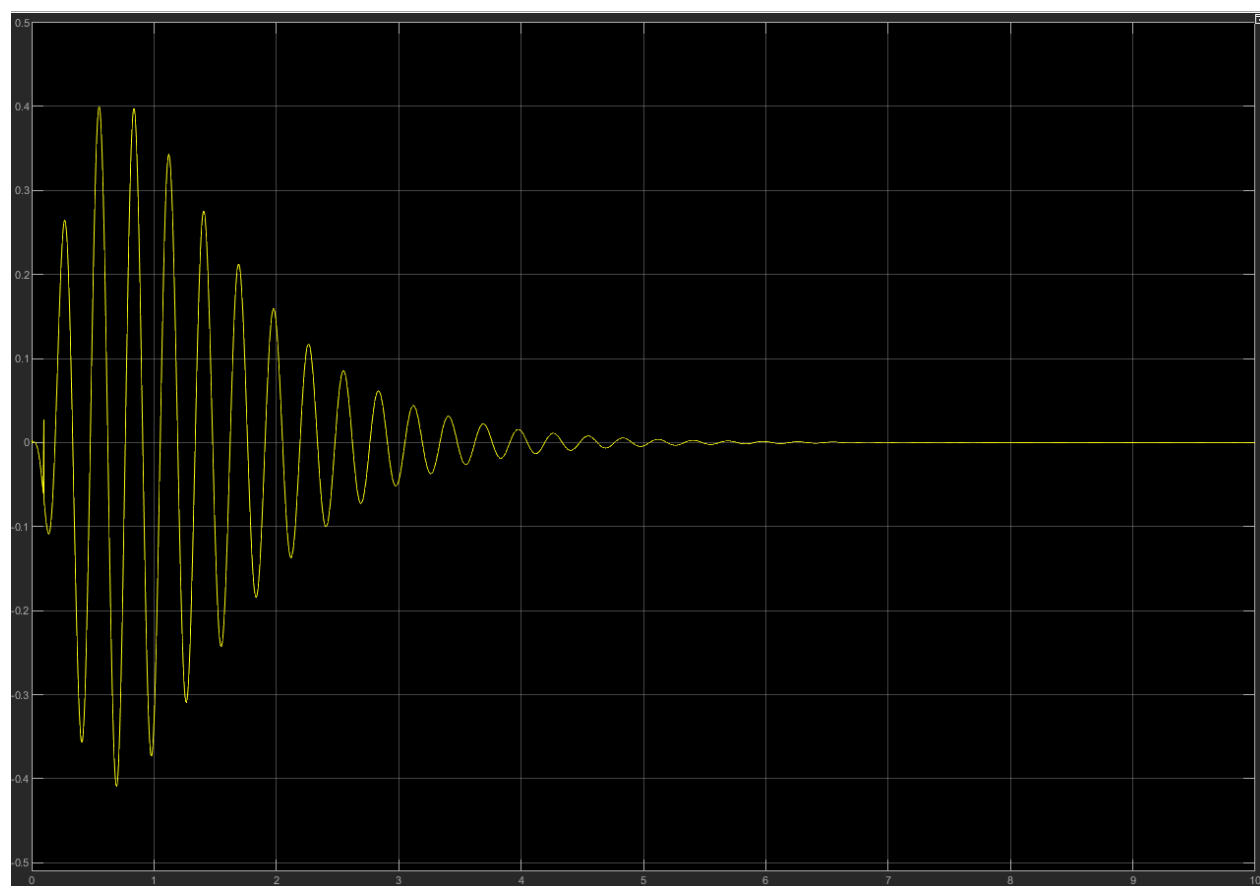
شکل ۱-۵

نمایی از مشخصات کنترل کننده



شکل ۲-۵

پس اجرای سیمولین و مقایسه تابع تبدیل خطی سازی شده و خروجی نرم افزار آدامز دامنه خطا برای ورودی پله حداکثر مقدار ۲ درجه انحراف می باشد .



شکل ۳-۵

متعادل کردن آونگ معکوس خود کار مشکلی است و باضافه کردن پاندولی دیگر سخت تر هم می شود (مخصوصا موقعی که طول میله آن دو یکسان باشد).

معادله (۱۰) از بخش دوم را برای پاندول i ام باز نویسی کرده

$$\bar{F}_i = -m_i [l_i \ddot{\theta}_i \cos \theta_i - l_i \dot{\theta}_i^2 \sin \theta_i + \ddot{x}] \quad (۴۲)$$

معادله (۱۲) برای پاندول i ام به شکل زیر در می آید

$$f - m_c \ddot{x} + \sum_i \tilde{F}_i = 0$$

$$m_c \ddot{x} - \sum_i \tilde{F}_i = f \quad (۴۳)$$

معادله (۱۸) که برای تعادل پاندول نوشته شده بود به صورت

$$m_i l_i (l_i \ddot{\theta}_i + \ddot{x} \cos \theta_i) - m_i g l_i \sin \theta_i + J_i \ddot{\theta}_i = 0$$

$$m_i l_i (l_i \ddot{\theta}_i + \ddot{x} \cos \theta_i) - m_i g l_i \sin \theta_i + k m_i l_i^2 \ddot{\theta}_i = 0 \quad (۴۴)$$

بازنویسی معادله (۴۴) و فاکتور گیری بر حسب شتاب گاری

$$m_c \ddot{x} - \sum_i \tilde{F}_i = f$$

$$m_c \ddot{x} + \sum_i [m_i (l_i \ddot{\theta}_i \cos \theta_i - l_i \dot{\theta}_i^2 \sin \theta_i + \ddot{x})] = f$$

$$m_c \ddot{x} + \sum_i [m_i l_i (\ddot{\theta}_i \cos \theta_i - \dot{\theta}_i^2 \sin \theta_i)] + \ddot{x} \sum_i m_i = f$$

$$m_c \ddot{x} + \ddot{x} \sum_i m_i = f - \sum_i [m_i l_i (\ddot{\theta}_i \cos \theta_i - \dot{\theta}_i^2 \sin \theta_i)]$$

$$\ddot{x} = \frac{f - \sum [m_i l_i (\ddot{\theta}_i \cos \theta_i - \dot{\theta}_i^2 \sin \theta_i)]}{m_c + \sum m_i} \quad (۴۵)$$

معادله (۴۵) در باطن معادله (۱۹) می باشد که برای چندین پاندول نوشته شده است.

بازنویسی معادله (۴۴) و فاکتور گیری بر حسب شتاب زاویه ای پاندول

$$m_i l_i (l_i \ddot{\theta}_i + \ddot{x} \cos \theta_i) - m_i g l_i \sin \theta_i + k m_i l_i^2 \ddot{\theta}_i = 0$$

$$m_i l_i^2 \ddot{\theta}_i + k m_i l_i^2 \ddot{\theta}_i = m_i g l_i \sin \theta_i - m_i l_i \ddot{x} \cos \theta_i$$

$$(\gamma + k) m_i l_i^2 \ddot{\theta}_i = m_i l_i^2 \ddot{\theta}_i + k m_i l_i^2 \ddot{\theta}_i$$

$$\ddot{\theta}_i = \frac{m_i g l_i \sin \theta_i - m_i l_i \ddot{x} \cos \theta_i}{(\gamma + k) m_i l_i^2}$$

$$\ddot{\theta}_i = \frac{g \sin \theta_i - \ddot{x} \cos \theta_i}{(\gamma + k) l_i} \quad (۴۶)$$

با جایگذاری (۴۶) در (۴۵)

$$\ddot{x} = \frac{f - \sum [m_i l_i \left(\left[\frac{g \sin \theta_i - \ddot{x} \cos \theta_i}{(\gamma + k) l_i} \right] \cos \theta_i - \dot{\theta}_i^2 \sin \theta_i \right)]}{m_c + \sum m_i}$$

$$\ddot{x} = \frac{f - \left(\frac{g}{\gamma + k} \right) \sum (m_i \sin \theta_i \cos \theta_i) + \left(\frac{\ddot{x}}{\gamma + k} \right) \sum (m_i \cos^2 \theta_i) + \sum (m_i l_i \dot{\theta}_i^2 \sin \theta_i)}{m_c + \sum m_i}$$

$$\mathbb{M} = m_c + \sum_i m_i$$

$$\mathbb{M} \ddot{x} = f - \left(\frac{g}{\gamma + k} \right) \sum_i (m_i \sin \theta_i \cos \theta_i) + \left(\frac{\ddot{x}}{\gamma + k} \right) \sum_i (m_i \cos^2 \theta_i) + \sum_i (m_i l_i \dot{\theta}_i^2 \sin \theta_i)$$

$$\mathbb{M} \ddot{x} - \left(\frac{\gamma}{\gamma + k} \right) \sum_i (m_i \cos^2 \theta_i) \ddot{x} = f - \left(\frac{g}{\gamma + k} \right) \sum_i (m_i \sin \theta_i \cos \theta_i) + \sum_i (m_i l_i \dot{\theta}_i^2 \sin \theta_i)$$

$$\left[\mathbb{M} - \left(\frac{\gamma}{\gamma + k} \right) \sum_i (m_i \cos^2 \theta_i) \right] \ddot{x} = \mathbb{M} \ddot{x} - \left(\frac{\gamma}{\gamma + k} \right) \sum_i (m_i \cos^2 \theta_i) \ddot{x}$$

$$\ddot{x} = \frac{f - \left(\frac{g}{\gamma + k} \right) \sum (m_i \sin \theta_i \cos \theta_i) + \sum (m_i l_i \dot{\theta}_i^2 \sin \theta_i)}{\mathbb{M} - \left(\frac{\gamma}{\gamma + k} \right) \sum (m_i \cos^2 \theta_i)} \quad (۴۷)$$

و در نهایت با وارد کردن جملات اصطکاکی

$$\ddot{x} = \frac{f - \left(\frac{g}{\gamma + k} \right) \sum (m_i \sin \theta_i \cos \theta_i) + \sum (m_i l_i \dot{\theta}_i^2 \sin \theta_i) + \left(\frac{\gamma}{\gamma + k} \right) \sum \left(\frac{M f_i \cos \theta_i}{l_i} \right)}{\mathbb{M} - \left(\frac{\gamma}{\gamma + k} \right) \sum (m_i \cos^2 \theta_i)} \quad (۴۸)$$

$$\ddot{\theta}_i = \frac{g \sin \theta_i - \ddot{x} \cos \theta_i - \frac{M f_i}{m_i l_i}}{(\lambda + k) l_i} \quad (49)$$

۶/۲ مدلسازی پاندول معکوس به روش لاگرانژ و استخراج معادله حالت

مطابق شکل یک پاندول معکوس به جرم m و به طول l متر روی یک ارباه به جرم M قرار گرفته است این ارباه در جهت افقی حرکت می کند. نیروی کنترل F موجب حرکت M و متعاقبا موجب تعادل پاندول معکوس می گردد. در این سیستم فرض می کنیم اصطکاک با سرعت رابطه مستقیم دارد.

$$\begin{cases} L = E_c - E_p \\ \frac{d}{dt} \left(\frac{\partial L}{\partial \dot{q}} \right) - \frac{\partial L}{\partial q} = f_y \end{cases}$$

$$G = (n + l \sin \theta * l \cos \theta) = \text{ثقل مرکز}$$

$$\begin{cases} v_n = \dot{x} + l \dot{\theta} \cos \theta \\ v_y = -l \dot{\theta} \sin \theta \end{cases}$$

$$v^2 = v_n^2 + v_y^2 = \dot{x}^2 + l^2 \dot{\theta}^2 \cos^2 \theta + 2 \dot{x} l \dot{\theta} \cos \theta + l^2 \dot{\theta}^2 \sin^2 \theta$$

$$v^2 = \dot{x}^2 + l^2 \dot{\theta}^2 + 2 \dot{x} l \dot{\theta} \cos \theta$$

انرژی جنبشی

$$= E_c = \frac{1}{2} m [\dot{x}^2 + l^2 \dot{\theta}^2 + 2 \dot{x} l \dot{\theta} \cos \theta] + \frac{1}{2} M \dot{x}^2 + \frac{1}{2} J \dot{\theta}^2$$

انرژی پتانسیل

$$= E_p = mgl \cos \theta$$

$$L = E_c - E_p = \frac{1}{2} m [\dot{x}^2 + l^2 \dot{\theta}^2 + 2 \dot{x} l \dot{\theta} \cos \theta] + \frac{1}{2} M \dot{x}^2 + \frac{1}{2} J \dot{\theta}^2 - mgl \cos \theta$$

$$q(t) = \theta(t) \rightarrow \begin{cases} \frac{\partial L}{\partial \dot{\theta}} = m l \dot{x} \cos \theta + J \dot{\theta} + m l \dot{x} \cos \theta \\ \frac{\partial L}{\partial \dot{x}} = -m l \dot{\theta} \sin \theta + M \dot{x} \\ \frac{\partial}{\partial t} \left(\frac{\partial L}{\partial \dot{\theta}} \right) = m l \ddot{x} \cos \theta + J \ddot{\theta} + m l \ddot{x} \cos \theta - m l \dot{x} \dot{\theta} \sin \theta \end{cases} \quad (1)$$

اولین معادله لاگرانژ

$$\rightarrow (ml^{\vee} + J)\ddot{\theta} + ml(\ddot{x}\cos\theta - g\sin\theta) = \cdot$$

$$q(t) = x(t) \rightarrow \begin{cases} \frac{\partial l}{\partial \dot{x}} = m\dot{x} + ml\dot{\theta}\cos\theta + M\dot{x} \\ \frac{dl}{dx} = \cdot \\ \frac{\partial}{\partial t}\left(\frac{\partial l}{\partial \dot{x}}\right) = (m + M)\ddot{x} + ml\ddot{\theta}\cos\theta - ml\dot{\theta}^{\vee}\sin\theta \end{cases} \quad (2)$$

دومین معادله لاگرانژ

$$\begin{aligned} \rightarrow f(t) &= (M + m)\ddot{x} + ml\ddot{\theta}\cos\theta - ml\dot{\theta}^{\vee}\sin\theta \\ &= (M + m)\ddot{x} + ml(\ddot{\theta}\cos\theta - \dot{\theta}^{\vee}\sin\theta) \end{aligned}$$

فرض

$$\theta < \epsilon \rightarrow \begin{cases} \cos\theta = \cdot \\ \sin\theta = \cdot \end{cases} \rightarrow \ddot{\theta}\cos\theta - \dot{\theta}^{\vee}\sin\theta = \frac{d}{d\theta}(\dot{\theta}\cos\theta) = \frac{d}{dt}(\dot{\theta}) = \ddot{\theta}$$

معادلات لاگرانژ

$$\rightarrow \begin{cases} (M + m)\ddot{x} + ml\ddot{\theta} = f(t) \\ (J + ml^{\vee})\ddot{\theta} + ml(\ddot{x} - g\theta) = \cdot \end{cases}$$

برای جرم کوچک

$$\rightarrow J = ml^{\vee} \begin{cases} (M + m)\ddot{x} + ml\ddot{\theta} = f(t) \\ \vee ml^{\vee}\ddot{\theta} + ml(\ddot{x} - g\theta) = \cdot \end{cases}$$

$$\stackrel{\times}{\Rightarrow} \ddot{\theta}(t) = \frac{f(t) - (m + M)\ddot{x}}{ml} \rightarrow \vee l(f(t) - (M + m)\ddot{x}) + ml(\ddot{x} - g\theta) = \cdot$$

$$\begin{aligned} \rightarrow \vee lf(t) - \vee lM\ddot{x} - \vee lm\ddot{x} + ml\ddot{x} - mlg\theta &= \cdot \rightarrow (\vee lM - lm)\ddot{x} \\ &= \vee lf(t) - mgl\theta \end{aligned}$$

$$\begin{aligned}
\rightarrow \ddot{x} &= \frac{f(t)}{M+m} - \frac{mg\theta}{M+m} \quad (I) \Rightarrow \ddot{\theta} = \frac{f(t)}{ml} - \frac{(M+m)}{ml} \left(\frac{f(t)}{M+m} - \frac{mg\theta}{M+m} \right) \\
\rightarrow \ddot{\theta} &= f(t) \left(\frac{1}{ml} - \frac{1}{ml(M+m)} \right) + \theta \left(\frac{mg(M+m)}{ml(M+m)} \right) \\
&= \frac{-f(t)}{l(M-m)} + \frac{g(M+m)}{l(M+m)} \theta \quad (II)
\end{aligned}$$

$$x = [\theta \quad \dot{\theta} \quad x \quad \dot{x}] \begin{cases} \dot{x} = AX + BF \\ Y = CX \end{cases}$$

$$= \begin{bmatrix} \frac{g(M+m)}{l(M+m)} & 0 & 0 & 0 \\ 0 & 0 & 0 & 0 \\ \frac{-mg}{M+m} & 0 & 0 & 0 \\ 0 & 0 & 0 & 0 \end{bmatrix} \begin{bmatrix} \theta \\ \dot{\theta} \\ x \\ \dot{x} \end{bmatrix} + \begin{bmatrix} 0 \\ 0 \\ 0 \\ \frac{1}{M+m} \end{bmatrix} \rightarrow \begin{bmatrix} \dot{\theta} \\ \ddot{\theta} \\ \dot{x} \\ \ddot{x} \end{bmatrix}$$

۷	شکل ۱-۱ : نمودار جسم آزاد پاندول معکوس
۱۶	شکل ۱-۲
۱۹	شکل ۲-۱ : صفر و قطب ها
۲۰	شکل ۲-۲ : پاسخ ضربه
۲۰	شکل ۳-۲
۲۱	شکل ۴-۲
۲۱	شکل ۲-۵
۲۲	شکل ۲-۶
۲۳	شکل ۳-۱
۲۴	شکل ۳-۲
۲۴	شکل ۳-۳
۲۵	شکل ۳-۴
۲۵	شکل ۳-۵ خروجی برای زاویه
۲۶	شکل ۳-۶ خروجی مکان
۲۷	شکل ۴-۱ create new model
۲۷	شکل ۴-۲ Body Tab>Bodies>Box
۲۸	شکل ۴-۳ ابعاد جعبه (گاری)
۲۸	شکل ۴-۴ Coordinate
۲۸	شکل ۴-۵ polar
۲۸	شکل ۴-۶ تعریف میله
۲۸	شکل ۴-۷ تعریف کوی
۲۹	شکل ۴-۸ شکل شماتیک گاری و میله
۲۹	شکل ۴-۹ انتخاب پروپرتیز میله
۲۹	شکل ۴-۱۰ باز کردن قسمت مودیفی
۲۹	شکل ۴-۱۱ تغییر مختصات مرکز جرم به نقطه ۶۰۰ و ۹۰
۳۰	شکل ۴-۱۲ قید لولا برای میله و حرکت مستقیم الخط برای گاری
۳۰	شکل ۴-۱۳
۳۱	شکل ۱۴-۴ تعریف مژر مکان
۳۱	شکل ۱۵-۴ تعریف مژر سرعت
۳۱	شکل ۴-۱۶ تعریف مژر شتاب
۳۱	شکل ۴-۱۷
۳۲	شکل ۴-۱۸ خروجی های آدامز برای مژرهای تعریف شده (صرفا جهت چک کردن مدل سازی درست)
۳۲	شکل ۱۹-۴
۳۳	شکل ۴-۲۰
۳۳	شکل ۲۱-۴
۳۳	شکل ۴-۲۲
۳۳	شکل ۴-۲۳ کامپوننت نیرو
۳۴	شکل ۴-۲۴ موقعیت نیرو بر گاری
۳۴	شکل ۴-۲۵ متغیر حالت در تب المنت
۳۵	شکل ۴-۲۶ ایجاد متغیر حالت برای نیروی گاری
۳۵	شکل ۴-۲۷
۳۶	شکل ۴-۲۸
۳۶	شکل ۴-۲۹ ارتباط بین زاویه و متغیر حالتش
۳۷	شکل ۳۰-۴

۳۷	شکل ۴-۳۱
۳۷	شکل ۴-۳۲
۳۷	شکل ۴-۳۳
۳۸	شکل ۴-۳۴
۳۸	شکل ۴-۳۵ ADAMS Control Plant Export
۳۹	شکل ۴-۳۶ تنظیمات ADAMS Control Plant Export
۳۹	شکل ۴-۳۷ دایرکتوری نرم افزار
۴۰	شکل ۴-۳۸ نمایی از current folder نرم افزار متلب
۴۰	شکل ۴-۳۹ نمایی از صفحه اصلی متلب
۴۱	شکل ۴-۴۰ نمایی از فایل adams_sys.mlx
۴۱	شکل ۴-۴۱ هیج وقت adams_sys.mlx را تغییر ندهید
۴۲	شکل ۴-۴۲ ایجاد مدل جدید
۴۲	شکل ۴-۴۳ ذخیره مدل جدید
۴۳	شکل ۴-۴۴ ode
۴۳	شکل ۴-۴۵
۴۴	شکل ۴-۴۶
۴۵	شکل ۴-۴۷
۴۶	شکل ۵-۱
۴۶	شکل ۵-۲
۴۷	شکل ۵-۳